26411188661

LX, № 2 1975

ամբագրական կոլեղիա

3. Ա. ԱՐՋՈՒՄԱՆՑԱՆ, տեխն. գիտ. թեկնածա (պատ. քաշտուղաշ), է. 9. ԱՖՐԻԿՑԱՆ, 2002 ԳԱ թղթակից-անդաժ, Ա. թ. ԲԱԲԱ-ՑԱՆ, 2002 ԳԱ տերադեմիկոս, Ա. Ա. ԹԱԼԱԼՑԱՆ, 2002 ԳԱ թղթակից-անդաժ, Վ. Մ. ԲԱՌՈՏԱՆ, 2002 ԳԱ թղթակից-անդաժ, Վ. 2. ՀԱՄԲԱՐՁՈՒՄՅԱՆ, տկադեժիկոս, Վ. Հ. ՂԱԶԱՐՑԱՆ, 2002 ԳԱ տկադեժիկոս, Վ. Հ. ՂԱԶԱՐՑԱՆ, 2002 ԳԱ տկադեժիկոս (պատ. խժբագբի տեղակալ), Հ. Գ. ՄԱՂԱԲ-ՏԱՆ, 2002 ԳԱ տկադեժիկոս, Ա. Գ. ԵԱԶԱՐՈՎ, 2002 ԳԱ տկադեժիկոս (պատ. խժբագիշ), Գ. Ա. ՍԱՀԱԿՑԱՆ, 2002 ԳԱ թղթակից-անդաժ, Q. Մ. ՍԱՊՈՒՋՏԱՆ, 2002 ԳԱ թղթակից-անդաժ, անդաժ, Մ. Լ. ՏԵՐ-ՄԵՐԱՑԵԼՏԱՆ, 2002 ԳԱ թղթակից-անդաժ, Վ. Բ. ՖԱՆԱՐՋՏԱՆ, 2002 ԳԱ թղթակից-անդաժ.

Редакционная коллегия

В А АМБАРЦУМЯН, аколемик, Г А. АРЗУМАНЯН. BARA PEER RAYE сперетивы, Э Г. АФРИКЯА, че корр AH APMCCP, A. T. BABARH, SEALANDER АН Арисср. Г Х. БУНЯТЯН, акаде-MER AH APHCCP. B O KABAPAH, and MEMBER AH APRICCP (SOM OTO DESARTOPS). H C. MATARBAH, ABBARMEN AH APM CCP, A. C. HASAPOB, ARASENER AH ARMCCP (OTTO POZDETOP), F. C. CAAKSH THE - HIDDE AH APRICCP, O. M. CATIOH-AMAH SA-HOPP AH APECCP. A A TA-ЛАЛЯН, че ворр АН АриССР В М. TAPARH, A MOPD AH APMCCP, M. A. TIP MUKAEJIAH, LE KOPP AH ADWCC? B B GAHAPAKAH, WE GOOD AH ARMCCP.

CHARLIEL UNG SASHEPSOFLERIC MINISTER CPREMERSOPERIE

PHQUUTUANTESATE

UUPHFUSh	ıU
-----------------	----

4. Ս. Վիդենսկի— Իրազմանդամների ընտանիջների մասին ըստ Ձերիլեի
ախատեմի
3. It. Քալալյան—Հոկալ կոմպակա խմբերի մեջ բազմությունների տեղաչարմերի
J=0/1
The state of the s
Գ. Մ. Ավագյանց, II. Գ. Դոլվագյան <i>—ՄՆացորգային Հազորգակցությամբ պայմա</i> .
րավ-րված հիյողության Հֆեկտենը
นบราก ราชางน
Ա. Լ.Գյուլբուգազյան—1°1057 Կարապի ֆուորի վարջն իր րոնկումից հետո . 90
าะสอนอานุธาน ของบบกกุกจาน
Ա. Գ. Նագառով—Ինժեներային սելոմոլոգիայի վերաբերյալ քետազոտությունների
պրորլեմի շուրջը
II b S II U II L N P P L T T T T T T T T T T T T T T T T T
Դ. Ի. Սիխաշուլիձև, Ա. և, Ռազշավյան, Բ. Ց. Եշնվյան— <i>Երկրակեզևի ուսումետ</i> . Հիրումը մակերևութային ալիրենրի խմբային արագության ղեֆերեն <mark>յիալ մեթողով . 100</mark>
ชานานหนอกห องกา ง
Վ. Հ. Պաշոնիկյան <i>Ցիծկ-կապարի հարարերության ժետադածնման նշանակությա</i> ն
Jan-plu 105
21/21/21/21/21/21/21/21/21/21/21/21/21/2
IL. Ռ. Հաշությունյան <i>—Արարատյան ճկվածքում և նրա հարակից շրջաններում</i>
«տացված երկրաֆիզիկական ինֆորմացիայի երկրարահական թնույթի մասին
ምነብ ወ ስሆነ <mark>ዉ</mark>
Ա. Ա. Գալոյան, Ս. Ս. Ալեքսանյան, Ժ. Գ. Աբելյան, Ն. Ս. Բաբխուղաբյան <i>—Սբր</i> -
աում և այլ օրգաններում ֆոսֆորիլագայի ակտիվությունը նեյրոշորման C-ի սոմատոս-
առարիհի ազդեցության ենրթո
Ս. Շ. Սաքանյան <i>—Հետվակցի</i> նային հակաժարժին <mark>ազոյացժան (</mark> նղողեն հակաինհի-
phonphlp
መተቋመ ያለው ይመቀን መተመመ መተመ መመመስ መመመስ መመመስ መመመስ መመመስ መመመስ
Վ. Մ. Գոլուր, է. Գ. Ակրամովսկայա— Նոր տեսակ Tingis comigeta Golub et
Aktomowskaja sp. nov (Kanphadhuuh)

СОДЕРЖАНИЕ

математика	Cib
В. С. Виденский—О V разрешнимих семействах многочленов по системе Чебыщева Ш. Е. Бозоян—К построению надежных систем из ненадежных элементов . Ф А. Талалян—О переносах множеств в лохально компактных группах .	65 70 76
4113HRA	
Г. М. Авакьянц, С. Г. Долморян—Эффекты памоти, обусловлениые остаточ-	82
АСТРОФИЗИКА	
А. Л. Гюльбудаенн-Поведение фуора V1057 Лебедя после его возгорания.	90
инженерная сейсмология	
А. Г. Назиров-К проблеме неследований по инженерной сейсмологии	91
СЕПСМОЛОГИЯ	
Д. И. Сикарулидзе А. Х Баграмян, Б. Ц Еремян—Научение строения зем- кон коры дифференциальным методом групповых споростей поверхностных воли	100.
геология	
В. О Пароникян—О металлогеннческом значения цинково-саницового стношения	105
ТЕКТОНИКА	
А. Р. Арутюнин—О геологической природе геофизической пиформации. полученной в связи с изучением глубинного строения	112
SHOXIMMIA	
А. А. Голови. С С Алексинян Ж Г Абелян, Н А Борхудорян—Изменение ак- гнаности фосфорилазы в сердце и других органах под влиянием нейрогормона «С» и соматостатина	117
С Ш Саканян—Эндогенные антиингибиторы постивициизльного антиге- логенева.	12:
ЭНТОМОЛОГИЯ — RN ТОКОМОТИЕ	
В. Б. Голуб, Э. Г Акримовская—Новый вид пружевиним Tingis cornigera	125

CONTENTS

	p.
MATHEMATICS	
V. S. Vidensky—V-solvable Tchebishev system families of polynomials. Sh. E. Bozoyan—Forming reliable schemes from unreliable elements. F. A. Talallan—On transfer of sets in locally compact groups.	05 70 76
PHYSICS	
G. M. Avakiants, S. G. Dolmazlan - Memory effects caused by tesidual conductivity	82
ASTROPHYSICS	
A. L. Gyulbudaghian-Behaviour of the Fuor V1057 Cygni after its flare	90
EARTHQUAKE ENGINEERING	
A G. Nazarov-The problem of earthquake engineering · · · ·	94
EARTHQUAKE	
D. J. Sikharulidze, A. H. Bagramian, B. C. Eremian—The study of the earth's crust structure by means of the differential method of group velocities of surface waves	100
GEOLOGY	
W () Faronikian-The metallogenic meaning of zinc-lead relations	105
TECTONICS	
A. R. Haratunian—Geological nature of geophysical information received during the study of the deep structure of the Aratal depression and the adjoining regions - · · · · · · · · · · · · · · · · · ·	112
BIOCHEMISTRY	112
A A Galoyan, S. S. Alexanian, J. G. Abellun, N. A. Barkhudarlan—The effect of neurohormone C and somatostatin on phosphorylase activity of heart	
S. Sh. Sakanian - Endogen entitahibitors in the postvaccinal production of	117
antibodies · · · · · · · · · · · · · · · · · · ·	121
ENTOMOLOGY	
Golub et Akromowskaya sp. nov. (Hemiptera: Tingidae) from Transcaucasus.	125

Техинческий редактор Л А АЗИЗБЕКЯН

ВФ 04755. Подписано и печоти 11.V. 1975 г. Тираж 545. Под 4253. Заказ 183 Формат бумаги 70×1081/м Печ л 4.0. Бум. л. 2.0 Усл. печ. л 5,6. Уч. изд. листов 4,27.

24.94444 UU2 ЭРЗЯРРЗЯРБОР ЦЧИТЬ ИГИТЬЦЗР ДЬЧПРЗВЪБР ДОКЛАДЫ АКАЛЕМИИ НАУК АРМЯНСКОЯ ССР

LX 1975 2

УДК 517. 512

МАТЕМАТИКА

В. С. Виденский

О 1 разрешимых семействах многочленов по системе Чебышева (Представлено окадемиком АН Армянскоп ССР М. М. Джрбашяном 10/VI 1974)

В серпи работ Райса, завершенных в монографии (1), исследуются обладающие некоторыми специальными интерполяционными свойствами параметрические семейства функций, которые мы будем называть V-разрешимыми (varisolvent). Хотя и развита довольно общая теория наилучшего приближения функций элементами. V-разрешимых семейств, как отмечается в (1), кроме рациональных дробей, известно весьма мало примеров таких семейств; в (1) приведен их полный список.

В настоящей заметке дается пример иного характера, чем указанные в (1). А именно, выделяется некоторое нелинейное выпуклое подмножество в совокупности многочленов по следующей системе Чебышева порядка n (T_{n} —системе).

Пусть функции и

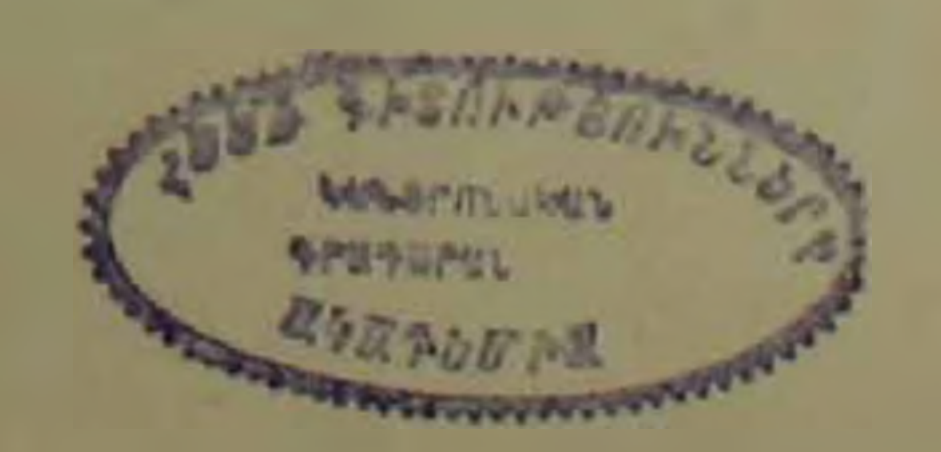
$$u_0(x) = w_0(x),$$

$$u_{i}(x) = w_{0}(x) \int_{0}^{x} w_{1}(t_{1})dt_{1} \qquad \int_{0}^{t_{i-1}} w_{1}(t_{1})dt_{1}$$

$$(i=1, \dots, n).$$
(1)

То, что $[u_i]_{i=0}^n$ образуют T_n —систему известно (i) и легко проверятся. В самом деле, замечая, что $v_i = (u_i w_0)^*$ ($i=1,\ldots,n$) выражаются по формулам типа (1), допустим по индукции, что образуют T_{n-1} —систему. Тогда в силу теоремы Ролля многочлен $P(x) = \sum_{i=1}^n a_i u_i(x)$ по системе (1) имеет n нулей, так как

$$\{P(x)/w_0(x)\}' = \sum a_l v_l(x),$$



будучи многочленом по $|v_i|_{i=1}^n$, имеет $\leq n-1$ нулей. Мпожество всех многочленов по системе (1) будем обозначать через $\mathbb{R}\{w_i\}_{i=0}^n$.

Рассмотрим семейство F непрерывных по x и a функций F(x,a), $x \in [0,1], a \in Q \subset \mathbb{R}_{n+1}$.

Определение 1 Говорят, что F обладает Z—свойством порядка $r=r(a^*)$ в точке a^* Q, если для любых $a\in Q$, $a=a^*$, разность $F(x; a^*)-F(x; a)$ имеет $\leqslant r(a^*)$ нулей.

Определение 2. Семейство F называется локально разрешным порядки $s = s(a^*)$ в точке — если для любой последовательности точек $0 < x_0 < \dots < x_s < 1$ и любого $\epsilon > 0$ можно указать такое $\epsilon > 0$, что из неравенств

$$|F(x_i; a^*) - y_i| < 0$$
 $(i = 0, ..., s)$

следует, что существует такое о СО, для которого

$$F(x_l; a) = y_l$$
 $(i=0, ..., s),$
 $|F(x; a^*) - F(x; a)| < \varepsilon$ $(0 \le x \le 1).$

Определение 3. Семейство F называется V—разрешимым порядка n, если для любого a — порядок Z—свойства совпадает с порядком локальной разрешимости, причем

$$r(a^*)=s(a^*)$$
, n ; $r(a)=$ const., $a \in Q$.

Для того, чтобы выделить V- разрешимое семейство в $\mathbf{R}_{\mathbf{W}}$ введем операторы

$$L_0 f = f$$
, $L_i f = \left(\frac{L_{i-1} f}{w_{i-1}}\right)'$ $(i = 1, ..., n+1)$.

Если $P \in \mathbb{R}\{w_l\}_{l=0}^n$, то существуют и непрерывны все L_lP .

Теорема. При любож k (1=k=n-1) семейство

$$\mathbf{F}_{k} = |P \in \mathbf{R} |\mathbf{w}_{l}|_{l=0}^{k-1} |\mathbf{U}| P \in \mathbf{R} |\mathbf{w}_{l}|_{l=1}^{n} : (L_{k}P)(x) = 0, \ 0 \le x \le 1|$$
 (2)

является V-разрешимым порядка п.

В частности, для алгебраической системы которая соответствует случаю $w_0 = 1$, $w_l = i$ ($i = 1, \ldots, n$), семейство F_k состоит из многочленов степени = k-1 и из тех многочленов степени = k-1 лля которых $P^{(k)}(x) \neq 0$ при $0 \leq x \leq 1$.

При доказательстве теоремы будет удобнее пользоваться другим описанием семейства F_k. Положим

$$z_{k}(x) = w_{k}(x)$$

$$z_{k+1}(x) = w_{k}(x) \int_{0}^{x} w_{k+1}(t_{k+1}) dt_{k+1} \int_{0}^{t_{k+1}(t_{k+1})} dt_{k+1}$$

$$(i = 1, \dots, n-h).$$

Обозначим через H множество всех строго положительных на [0; 1] многочленов по T_n и —системе $|z_n|_{l=0}^n$ Зафиксируем h — H и построим функцию

$$u_{k,h}(x) = w_0(x) \int_0^x w_1(t_1)dt_1 , \dots \int_0^{t_{k-2}} w_{-1}(t_{k-1})dt_k = \int_0^t h(t_k)dt_k.$$
 (3)

Функции $[u_0, \dots u_{k-1}, u_{k,n}]$ образуют T_n —систему, так как в роли w_k в формулах (1) здесь выступает h(x)>0. Обозначим через R_n множество всех многочленов

$$P_{h}(x; a) = \sum_{i=0}^{k-1} u_{i}u_{i}(x) + a_{k}u_{k,n}(x). \tag{4}$$

Легко видеть, что \mathbf{R}_h $= \mathbf{R} \| \boldsymbol{w}_l \|_{l=0}^n$. Действительно, полагая

$$h(x) = \sum_{i=k}^{n} b_i z_i(x) \tag{5}$$

н подставляя (5) в (3), получаем

$$u_{k,h}(x) = \sum_{i=1}^{\infty} b_i u_i(x). \tag{6}$$

Очевидно, мы имеем

$$z_{k-1}(x) = (L_k u_{k+1})(x)$$
 $(i = 0, ..., n-k), (L_k u_{k,h})(x) = h(x),$

и, следовательно,

$$F_k = U_{h_{GH}} R_h$$

Переходя к доказательству теоремы и рассматривая многочлен $P_{h_i}(x; a^*)$ вида (4), $h_0 \in H$, будем различать два случая. Если $a^* = -1(a_0^*, \ldots, a_{k-1}, 0)$, то $r(a^*) = s(a^*) = k$. В самом деле, каковы бы ни были точки $0 < x_0 < \ldots$ и числа y_0, \ldots, y_k в R_h существует интерполяционный многочлен $P_{h_i}(x;a)$, для которого $P_{i_i}(x;a) = v_i = (i=0,\ldots,k)$. По так как его коэффициенты являются непрерывными функциями от y_i , то легко удовлетворить всем условиям определения 2, и следовательно $s(a^*) = k$. Так как при $a^* = 0$ многочлен $P_{h_i}(x;a^*) - P_h(x;a) \in R_h$ при любом $h \in H$, то $r(a^*) = k$. Но, выбирая y_i по условию $y_i - P_{h_i}(x_i;a^*) = (-1)^i$, видим, что $r(a^*) = k$.

Теперь допустим, что $a^* = (a_0^*, \ldots, a_n), a_n = 0$, и покажем, что при этом $r(a^*) = s(a^*) = n$. Записывая $h_0 \in H$ в виде

$$h_0(x) = \sum_{i=1}^{n} b_{0i} z_i(x)$$

имеем

$$P_{h_i}(x; a^*) = \sum_{i=0}^{h-1} a_i^* u_i(x) - a_i^* \sum_{i=k}^{h} b_{ii} u_i(x).$$

Выберем % > 0 так, чтобы из перавенств

$$|b_{0i}-b_i|< c_0 \qquad (i=k,\ldots,n)$$

следовало, что определенный формулой (5) многочлен $h \in H$. Пусть даны точки $0 < x_0 < \ldots < x_n < 1$ и число > 0. Для любых y_0, \ldots, y_n существует многочлен

$$S(x; c) = \sum_{i=0}^{\infty} c_i u_i(x) \tag{7}$$

по системе (1), такой что

$$S(x_i; c) = y_i$$
 $(i = 0, ..., n).$ (8)

Выберем 🖏 > 0 так. чтобы неравенства

$$|P_n(x_i, a^*) - y_i| < t, \quad (i = 0, ..., n)$$

влекли за собой для многочлена (7), удовлетворяющего условиям (8), неравенства

$$|P_{h_0}(x; a) - S(x; c)| < \varepsilon \qquad (0 \le x \le 1),$$

$$|a_i b_{0i} - c_i| < b_0 |a_i| \qquad (i = k, \dots, n). \tag{9}$$

Если положить $c_i = a^*b_i$ (i = k, n) и определить h и $u_{k,h}$ формулами (5) и (6), то многочлен (7) можно написать в виде

$$S(x; c) = \sum_{i=0}^{k-1} c_i u_i(x) + a_k^* u_{k,h}(x), \qquad (10)$$

причем, благодаря (9), $h \in H$, откуда, благодаря (10), следует, что $S(x;c) \in F_h$. Таким образом, мы доказали, что $s(a^*) = n$.

Так как функции (1) образуют T_n —систему, то $r(a^*) \le n$. Но если в предыдущем построении взять

$$y_i = P_{h_0}(x_i; u^*) + (-1)^i \frac{\delta_1}{2} \qquad (i = 0, ..., n),$$

то $S(x; c) \in F_k$ и разность $P_h(x; a^*) - S(x; c)$ будет менять знак n+1 раз, следовательно $r(a^*) = n$.

Ленинградский государственный педагогический институт им. А. И Герцена

V- լուծելի բազմանդամների բնտանիքների մասին ըստ Ձերի են սիստեմի

ւր ուրդ կարգի V-լուծելի է։

Հայ հավասարություն որ հրական դաղափարը և ապացուցվում է, որ հր ընտանիհրացվում է \-լուծելիության դաղափարը և ապացուցվում է, որ հր ընտանիբայվում է \-լուծելիության դաղափարը և ապացուցվում է, որ հր ընտանի-

JULEPATYPA - SCUSULAPPEAPE

² J. R. Rice, The approximation of functions. Nonlinear and multivariate theory, v. 2. Addison-Wesley publishing company, 1969. ² M. A. Румман, ДАН СССР т. 164, 989—992, № 5 (1965).

1975

LX

2

УДК 51995

MATEMATURA

Ш Е. Бозоян

К построению надежных схем из ненадежных элементов

(Представлено вкадемиком АН Армянской ССР С. Н. Мергеляном 26/1Х 1971)

Идею построения надежных схем из непадежных элементов с помощью их дублирования и надежного голосования выходов, предложенной Джоном фон Нейманом (1), не учитывает функциональные и структурные особенности схем, т. е. там не решается задача получения требуемой надежности схемы введением минимальной избыточности аппаратур.

Целью настоящей заметки является построение алгоритма нахождения минимального числа «самых важных» элементов в схеме (реализующей функцию алгебры логики), дублирование и надежное голосование выходов которых обеспечивает требуемую надежность схемы

Пусть схема S_f , имеющая n входов и один выход, реализует булеву функцию $f(x_1, \ldots, x_n)$ и состоит из функциональных элементов, которые некоторым образом пронумерованы. Обозначим их через

$$X_1, X_2, \ldots, X_N.$$

Пусть с вероятностью $p_{i,s}$ $\left(i=\overline{1,V};\ s=0.1;\ 0< p_l=p_{i,s}+p_{i,s}<\frac{1}{2}\right)$

элемент N_l превращается в схему, реализующую константную функцию z. Пусть вероятность появления набора (a_1,\ldots,z_n) из нулей и единиц на входях схемы S_f равна $q(z_1,\ldots,z_n)=1$).

Определим вероятность появления ложного значения на выходе схемы S_f , при условни, что на входах всегда поступают "правильные" наборы (z_1, \ldots, z_n) . Обозначим эту вероятность через $P_{S_f}(q, p_1, \ldots, p_{N,s})$. При этом будем говорить, что схема S_f работает с надежностью $1 - P_{S_f}(q, p_{1,s}, \ldots, p_{N,s})$.

Заметим, что значение выхода каждого функционального элемента X_i (i=1,N) схемы S_f , вообще говоря, зависит от наборя значения входных сигналов (z_1,\ldots,z_n) (его обозначим через X_i (a_1,\ldots,a_n)), поэтому значение выходного сигнала схемы S_f зависит от значений

$$X_i(a_1, \ldots, a_n) \quad (i=\overline{1,N}).$$

Значение выходного сигнала схемы S_f обозначим 70

$$S_f(X_1, ..., X_N) = S_f(X_1(z_1, ..., z_n), ..., X_N(z_1, ..., z_n)).$$

Если элемент $X_l(i=1,\Lambda)$ превратился в схему, реализующую константную функцию σ (z=0,1), то мы говорим, что элемент X_l превратился в X^s , где X_l превратил

$$= \sum_{i=1}^{n} q(a_1, \dots, a_n) | S_f(X_1, \dots, X_{i_1}, \dots, X_{i_n}, \dots, X_N) \oplus$$

$$\oplus S_f(X_1, \dots, X_i^{a_{i_1}}, \dots, X_{i_n}^{a_{i_n}}, \dots, X_N), \tag{1}$$

гле сумма берется по всем наборам значений входных сигналов ($a_1,...,a_n$). Очевидно, $2^{s_{\ell(p_{\ell})}}$ есть вероятность того, что если элементы $X_{\ell_1,...,X_{\ell_k}}$ схемы S_{ℓ} превращены соответственно в $X^{s_{\ell}}$.

..., а все остальные элементы функционируют правильно, то на ее выходе получается ложный сигиал. Обозначим $M = \{1,2,\ldots,V\}$. Тогда очевидно

$$P_{s_{f}}(q, p_{1}, \dots, p_{N, s}) = \sum_{\substack{((i_{1}, \dots, i_{N})) \ ((i_{1}, \dots, i_{N}))} } \prod_{\substack{(1 - P_{i}), \ ((i_{1}, \dots, i_{N})) \ ((i_{1}, \dots, i_{N})) \ ((i_{1}, \dots, i_{N})) \ ((i_{1}, \dots, i_{N})) \ ((i_{1}, \dots, i_{N}))}}$$

$$(2)$$

где внутренняя сумма берется по всем 2^k наборам значений (a_1, \ldots, a_k) ($a_1 = 0, 1; j = \overline{1, k}$), а внешняя сумма—по всем $2^N - 1$ наборам индексов(i_1, \ldots, i_k) ($k = \overline{1, N}$). Обозначня

$$2^{s_{i}} = 2^{s_{i}}_{i(0)} \cdot p_{i,0} + 2^{s_{i}}_{i(1)} \cdot p_{i,1} \tag{3}$$

 Ω^{S_f} называется активностью элемента X_I в схеме S_I относительно функции распределения $q(\mathbf{z}_1,\dots,\mathbf{z}_n)$ вероятностей появления наборов $(\mathbf{z}_1,\dots,\mathbf{z}_n)$ входных сигналов схемы

Выделив линейную часть, формулу (2) перепишем в слелующем

виде.

$$P_{i,j}(qp_{1,3},...,p_{N,s}) = \sum_{i=1}^{N} (1,p_{1,1},...,p_{N,s}).$$
Теоремв. При $p_{1,s} < \frac{1}{2} (i=1,N; s=0,1)$
 $\gamma(q,p_{1,3},...,p_{N,s}) \leq 4N^2p^2.$

ide p=max pi,s.

Доказательство. Поскольку для всех наборов (д. 14) н (од....)

$$\prod_{r \in M \setminus \{l_1, \dots, l_k\}} (1 - p_r) + \dots + \sum_{(s_{11}, \dots, s_{N})} 2^{s_{N}}_{1(s_{1})}, \dots, N^{(s_{N})} + \prod_{l \in M} p_{l,s_{l}} \leq \\
\leq p^{2} \sum_{1 \leq l_{1}, \dots, l_{k} \leq N} \sum_{(s_{l_{1}}, \dots, s_{l_{k}})} 2^{s_{l_{1}}}_{1(s_{l_{1}})} + \dots + \\
+ p^{k} \sum_{1 \leq l_{1}, \dots, l_{k} \leq N} \sum_{(s_{l_{1}}, \dots, s_{l_{k}})} 2^{s_{l_{1}}}_{1(s_{l_{1}})} + \dots + p^{N} \sum_{(s_{l_{1}}, \dots, s_{N})} 2^{s_{l_{1}}}_{1(s_{l_{1}})} \\
\leq 2^{2} p^{2} C_{N}^{2} + \dots + 2^{k} p^{k} C_{N}^{k} + \dots + 2^{N} p^{N} = (1 + 2p)^{N} - \\
- 1 - 2Np = (1 + 2p)^{\frac{1}{s_{p}} 2Np} - 1 - 2Np \leq e^{2Np} - 1 - 2Np = \\
= 1 + 2Np + \frac{N^{2}(2p)^{3}}{2!} + \frac{N^{3}(2p)^{3}}{3!} e^{92Np} - 1 - 2Np = \\
= 4p^{2} \left(\frac{N^{2}}{2} + \frac{N^{3}p}{3} e^{26Np} \right),$$

где О≪0 : 1.

Следовательно. $\phi(q, p_{1,2}, \ldots, p_N) \leq 4N^2p^2$. Итак,

$$P_{S_j}(q, p_{1,s_1}, \ldots, p_{N,s}) \leq \sum_{i=1}^{N} Q_i^{S_j} - 4N^2 p^2.$$
 (4)

Опишем алгоритм оптимального дублирования элементов схемы S_f . Предворительно заметим, что при тройном дублировании некоторого элемента X_i схемы S_f и надежного голосования выходов этих трех экземпляров, вероятность того, что результат голосования будет одной из константных функций 1 или 0, не превосходит числу $6p^2$. Действительно, для того, чтобы значение выхода голосователя было константой 1, необходимо и достаточно, чтобы хотя бы два экземпляра элементов X_i превратились в X_i^1 . Вероятность этого события равна $p_{i,1} = 3p_{i,1}^2(1-p_i) + p_{i,1}^3$. Аналогично получим вероятность того, что выход голосователя реализует константу 0:

$$p_{i,0}=3p_{i,0}^*(1-p_i)+p_{i,0}^*.$$

Можно убедиться, что

$$p'_{t,1} - p_{t,0} \leq 6p^2 \tag{5}$$

Таким образом, тройное дублирование и надежное голосование выходов трех экземпляров элемента X_i с точки зрения надежности схемы S_f означает, что числа $p_{i,i}$ и $p_{i,0}$ заменяются соответственно числами $p_{i,1}$ и $p_{i,0}$. Наша задача заключается в том, чтобы для заданного

 $\varepsilon_0(0, \varepsilon_0) = 0$ найти минимального числа элементов $X_{j_1, \ldots, N_{j_m}}$ в схеме S_f , чтобы при тройном дублировании этих элементов выполнялось неравенство

$$p_{s_f}(q, p_1, \dots, p_{j_1, \dots, p_{j_{n-1}}, \dots, p_{N_n}}) \leq \varepsilon_0.$$

Эту задачу мы решим для случая

$$N^2 D^2 < \frac{8}{8} \tag{6}$$

Исходя из формулы (4) алгоритм решения поставленной залачи описывается следующим образом;

1. Определить значение

$$\mathbf{E} = \sum_{i=1}^{N} \Omega_{ij}^{S} . \tag{7}$$

Если $\epsilon = \frac{1}{2}$, то работу ялгоритма считать законченной, в противном случае перейти к п. 2.

2. Среди слогаемых $2i^{S_I}$ ($i=\overline{1,N}$) найти максимальные. Пусть одно из них (например, с меньшим индексом) является 2i. Дублировать элемент $X_{I'}$ в три раза, присвоить буквам $p_{I',I}$ и $p_{I',0}$ значения $p_{I-1}p_{I,0}$ и перейти к п. 1. Из условия (6) следует, что при N=2 более, чем тройное дублирование элементов X_I схемы S_I не приходится. Действительно, если максимальным среди 2i является 2i = 2i, $p_{I',0} + 2i$ то имея в виду (5) и (6)

$$\varepsilon = \sum_{i=1}^{N} \Omega^{s_i} / N \Omega^{s_i} - N(p_{i+1} + p_{i+1}) \le 6 N p^{s_i} \le \frac{\varepsilon_0}{2}$$

т.е. уже дублированный элемент X_ℓ вторичному дублированию не подлежит.

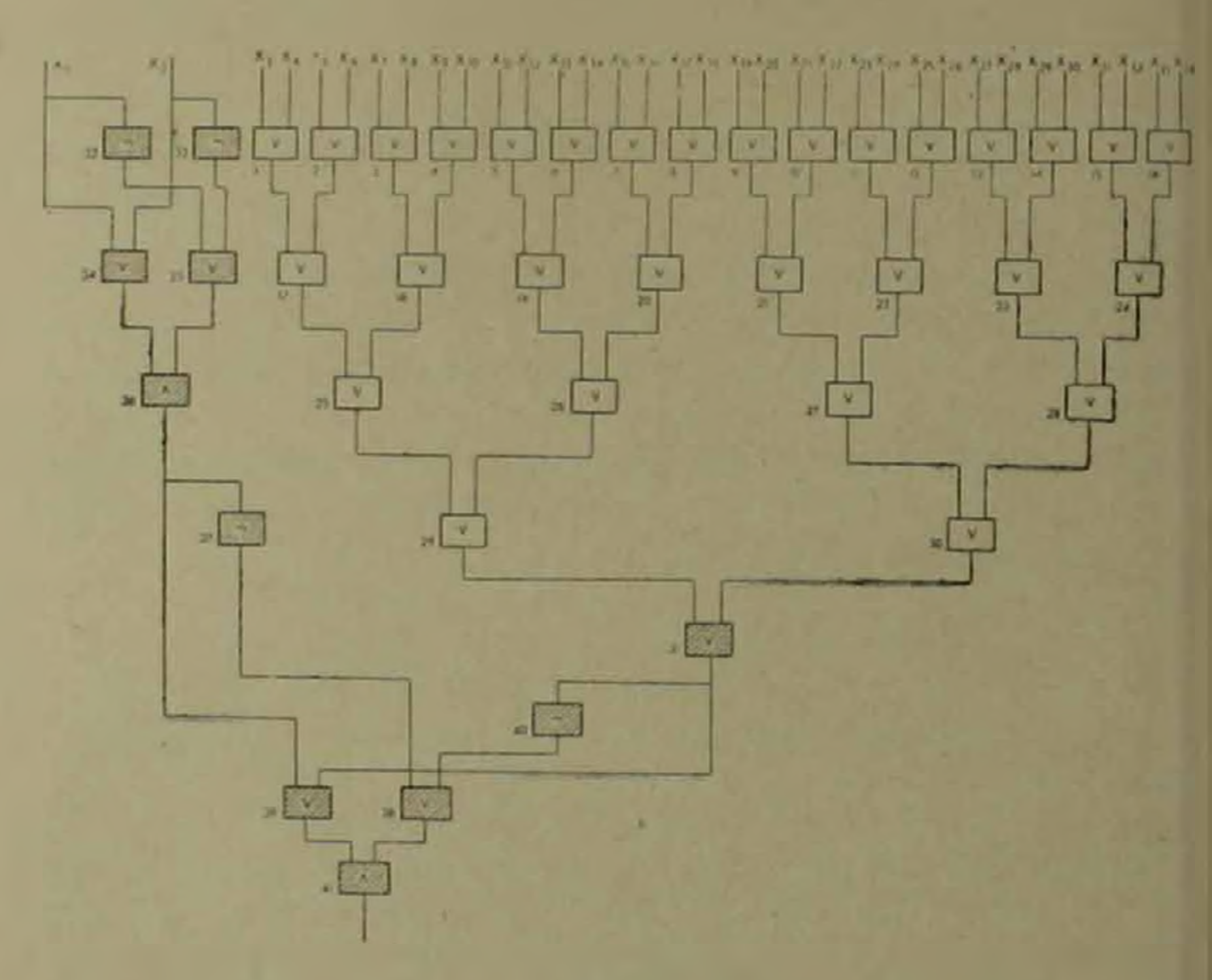
Пример. Пусть схема S_f реализует функцию $f(x_1, \ldots, x_{34}) = x_1 \oplus x_2 \oplus (x_3 v x_4 v \ldots v x_{34})$ (рис. 1). Пусть базисными элементами являются: \wedge " ("и"), " \vee " ("или") и " " ("иет"). Элементы схемы пронумерованы, как показан на рис. 1: элемент с помером i означает X_i (i=1, 2 — 4.1), $p_{i,i}=10^{-8}$ дли всех $i,\sigma(i=1,2,\ldots,41;\ \sigma=0,1)$ и $q(x_1,\ldots,x_{34})=\frac{1}{2^{-4}}(x_i=0,1;j=1,2,\ldots,34)$. Пусть требуется, чтобы после дублирования

необходимого минимального числа элементов и надежного голосования значений выходов этих элементов схема S_i работала с надежностью, не меньшую $I = \Gamma$ где $I = 10^{-12}$ Исходя из формул (1) и (3) для данной схемы получим:

$$Q_1^{s}/=Q_2^{s}/=\ldots=Q_{10}^{s}/=\frac{10^{-8}}{2^{30}};$$

$$\Omega_{11}^{s} / - \Omega_{18}^{s} / = \dots = \Omega_{21}^{s} / = \frac{10^{-s}}{2^{2s}};$$

$$\begin{split} & \Omega_{39}^{S_f} = \Omega_{30}^{S_f} = \Omega_{37}^{S_f} = \Omega_{38}^{S_f} = \frac{10^{-8}}{2^{24}}; \\ & \Omega_{29}^{S_f} = \Omega_{30}^{S_f} = \frac{10^{-8}}{2}; \qquad \Omega_{31}^{S_f} = 10^{-8}; \\ & \Omega_{32}^{S_f} = \Omega_{33}^{S_f} = \frac{10^{-8}}{2}; \qquad \Omega_{44}^{S_f} = \Omega_{35}^{S_f} = \frac{3}{4} \cdot 10^{-8}; \\ & \Omega_{36}^{S_f} = 10^{-8}; \qquad \Omega_{37}^{S_f} = \left(1 - \frac{1}{2^{32}}\right) \cdot 10^{-5}; \\ & \Omega_{38}^{S_f} = \Omega_{39}^{S_f} = \left(1 - \frac{1}{2^{33}}\right) \cdot 10^{-8}; \qquad \Omega_{40}^{S_f} = \frac{10^{-8}}{2}; \qquad \Omega_{41}^{S_f} = 10^{-8}; \end{split}$$



• Рис. I

Очевидно, выполнено условие (6), поэтому описанный выше алгоритм применим для данной схемы. После применения этого алгоритма получим, что для обеспечения требуемой надежности схемы необходимо дублировать элементы $X_{3,1}, X_{3,2}, \ldots, X_{4,4}$ (на рис. 1 они защтрихованы).

Замечание. Изложенный выше алгоритм оптимального дубли рования можно применить также относительно схемы S_F , имеющую леходов и т выходов, реализующую систему функций алгебры логик

$$F = (f_1(x_1, \dots, x_n), \dots, f_m(x_1, \dots, x_n)).$$

При этом в качестве значения в (см. формулу (7)) необходимо взять $=max_1^*s_1$. Пре $s_j=\sum_{i=1}^N (3 \text{десь } \Omega_i^*r)_j$ есть активность элемента X_i схемы S_i относительно ее j—го выхода, соответствующего функцию f_i).

Автор считает приятным долгом поблагодарить А. В. Петросяна за ценные совсты.

Армянский педагогический институт им. X. Аболяна

G. b. pagasun

Աննուսալի կլեմենտներից նուսալի սխեմաներ կառուցելու վերաբերյալ

Դիտարկվում է ու մուտք և մեկ ելը ունեցող տրամաբանական հանրահայվի ֆունկցիա իրականացնող սխեմա, որը հավաքված է ֆիթսված բազիային էլեմենտների վրա։ Միւեմայում օգտագործված յուրաքանչյուր էլեմենտի համար տրված են նրա՝ համապատասխանագար է և Օ հաստատուն բունկցիաներ իրականացնող սարքերի վերածվելու հավանականությունները։ Կախված այդ հավանականությունների հասդես գալու հավանականությունները հարևների համախմբությունների հասդես գալու հավանականություններ բաշխումից որոշվում է սիւեմայի ելքի սխալի հավանականությունը։ Որոշ բնական նեքադրությունների դեպրում լուծվում է մինիմալ թվով էլեմենտներ կրկնօրինակելով (հռապատկելով) և նրանց ելքերը հուսալիորին «բվեարկելով» «կզբնական սխեմայից նույն ֆունկցիան իրականացնող, բայց պահանչված հուսալիությումը աշխատող սիւեմա ստանալու խնդիրը Խնդրի լուծման ալդարիթներ ցուցադրվում է մասնավոր օրինակի վրա։

ЛИТЕРАТУРА — ЧРИЧИБИЕРЗПЕТ

¹ Дж. Нейман, Вероптиостивя логика и синтез надежных организмов из непадежных компонент, Сб. Автоматы, И.А., М., 1956.

LX 1975

2

УДК 51946

MATEMATHKA

Ф. А. Талалян

О переносах множеств в локально компактных группах

(Представлено академиком АН Армянской ССР А Л Шлгиняном 28/X 1974)

В работах (—) рассматриваются различные частные постановки следующей задачи:

Пусть локально компактная группа G действует в локально компактном пространстве X, причем на X задана положительная борелевская мера ψ . Пусть $E \subseteq X$ множество положительной меры и $A \subseteq X$ конечное множество. Справнивается существует ли элемент g(G) такой, что $g(A) \subseteq E$ и какова мера Хлара множества $\{g \in G: g(A) \subseteq E\}$.

В настоящей заметке рассматривается случай, когда X=G и G действует в X слева, τ . е. $g\in G$, $x\in X=G$. Приведенная ниже теорема является обобщением одного результата Γ . Хадвигера, относящегося к тому случаю, когда G есть евклидово пространство произвольной конечной размерности.

Теорема 1. Пусть G – локально компактная группа, μ —левая мера Хаара группы G и E = G - uзмеримое мно жество конечной положительной меры. Тогда для любого $\varepsilon > 0$ и целого n > 1 существует такая окрестность V единицы группы G, что оля любого множества A = V состоящего из n точек $\mu | g \in G : gA = E | > (1-\varepsilon)\mu(E)$.

Доказательство. Возьмем компактное множество К и открытое множество W, удовлетворяющие условиям

$$K \subseteq E \subseteq W$$
, (1)

$$\mu(K) > (1 - \varepsilon/2)\mu(E), \tag{2}$$

$$\mu(W') < (1 - \varepsilon/4n)\mu(K). \tag{3}$$

Далее возьмем симметрическую окрестность единицы V такую, чтобы выполнялись условия

$$KV \subseteq W$$
. (4)

$$\Delta(g) > 1 - \varepsilon' 4n, g \in V. \tag{5}$$

где ⁴-модулярная функция группы G.

Покажем, что построенная окрестность V является искомой. Пусть $A \subseteq V$, $A = \{g_1, \dots, g_n\}$. Тогда мы имеем

$$|g \in G: g A \subseteq E| = \bigcap_{i \in E} E_{K^{-1}}$$
 (6)

Так как при любом $i=1,2,\ldots,n$ $i\in V$, то применяя последовательно (6), (1), (4), (3), (5) и (2) получям

$$\mu|g \in G : gA \subseteq E| = \mu\left(\bigcap_{i=1}^{n} Eg_{i}^{-1}\right) \ge \mu\left(\bigcup_{i=1}^{n} Kg_{i}^{-1}\right) = \mu\left(\bigcup_{i=1}^{n} (W - Kg_{i}^{-1})\right) = \\
= \mu(W) - \mu\left(\bigcap_{i=1}^{n} (W - Kg_{i}^{-1})\right) - \mu(W) - \sum_{i=1}^{n} \mu\left(W - Kg_{i}^{-1}\right) = -(n-1)\mu(W) + \\
+ \sum_{i=1}^{n} \mu\left(Kg_{i}^{-1}\right) = -(n-1)\mu\left(W\right) - \sum_{i=1}^{n} \mu\left(K\right) \ge \\
> -(n-1)\mu(H - \epsilon/4n)\mu(K) - \mu(H - \epsilon/4n)\mu(K) \ge (1 - \epsilon/2)\mu(K) \ge \\
> (1 - \epsilon/2)^{2}\mu(E) \ge (1 - \epsilon)\mu(E),$$

что и требовалось.

Следующее известное утверждение является простым следствием теоремы 1,

Следствие 1. Пусть G—локально компактная группа и $E \square G$ —борелевское множество, мера Хаара которого положительна и конечна. Тогда множество $E^{-1}E$ содержит окрестность единицы.

Доказательство. Применяя теорему при n=2, мы найдем симметрическую окрестность единицы V такую, что для любых двух точек x и y из V существует такой элемент $g \in G$, что g , g , g $g \in E$. Докажем, что $E^{-1}E \supseteq V$. Пусть $z \in V$ —произвольная точка. Для z^{-1} и e (e единица группы) найдется $g \in G$ такой, что $gz \vdash (E)$ и $ge = g \in E$. Тогда $z = (gz^{-1})^{-1}g \in E$

Замечание. В теореме 1 нельзя вообще говоря утверждать существование окрестности V пригодной для всех n, даже в том случае когда в не фиксируется заранее. Более того, например, в группе R —аддитивной группе действительных чисел существует множество положительной меры E, такое, что в любой окрестности нуля существует конечное множество, которое не отображается в E никаким переносом. Это видно из следующего простого примера

Пусть n>2 целое число. Разделим отрезок [0,1] на n равных частей и выбросим последнюю часть. Каждый из оставшихся n-1= =l(1) отрезков разделим на $l(1)\cdot n^2$ равных частей и выбросим последнюю часть. Пусть l(k) число отрезков, полученных после k шагов. Каждый из этих отрезков разделим на $l(k)m^{-1}$ равных частей и выбросим последнюю часть. Продолжая этот процесс неограниченно мы выбросим из [0,1] последовательность непересекающихся отрезков S_n , сумма длин которых равна

$$\frac{1}{n} + l(1) \cdot \frac{1}{l(1)n^2} + \ldots + l(k) \cdot \frac{1}{l(k)n^{k+1}} + \ldots = \frac{1}{n-1} < 1.$$

Положим E = [0,1] US. Таким образом E имеет положительную лебегову меру.

Пусть задан произвольный интервал $(0,\delta)$, $\delta>0$. Выберем k настолько большим, чтобы выполнялось неравенство $1/l(k-1)n^k<\delta$. Теперь разделим отрезок $[0,1,(k-1)n^k]$ на $2l(k)n^{k+1}$ равных частей и пусть A есть множество точек деления. Оченидно при любом действительном ℓ множество (-A) 1(R-E) не пусто.

В связи с этим возникает вопрос: в каких группах существуют множества нулевой меры Хаара, для которых существует окрестность, указанная в приведенном выше замечаныи?

Пз одного результата Марстранда ((³), теорема 1) следует, что в любой недискретной локально компактной э—компактной группе существует множество нулевой меры Хаара, в которое некоторым переносом можно отобразить любое счетное множество. После некоторых, связанных с существом дела изменений, рассуждения указанной работы (¹) позволяют доказать несколько более общее утверждение.

Теорема 2. Пусть G недискретная локально компактная группа, ψ —левия мера Хаара ни G и V окрестность единицы c з—компактным замыкинием. Тогда существует множество $E \subseteq G$ с $\psi(E)=0$ такое, что для любого счетного множества $A \subseteq V$ существует элемент $g \in G$ такой, что $gA \subseteq E$.

До казательство. Можно считать окрестность V симметрической. В силу \mathbf{z} —компактности V можно найти последовательность U_n окрестностей единицы с компактными замыканиями такую, что

$$U_n \subseteq U_{n+1}, \quad n=1,2,\ldots; \qquad V \subseteq \bigcup_{n=1}^{\infty} U_n = U.$$

Все окрестности единицы, встречающиеся в приведенном ниже построении предполагаются симметрическими и с компактными замы-каниями. Они будут обозначены буквами V и W с индексами.

Индукцией по n построим последовательности W_n и V_n , и последовательность конечных множеств $T_n = G$, так, чтобы при любом $n \ge 1$ выполнялись условия:

a)
$$\overline{V}_{n+1} \subseteq V_n$$
;

b)
$$\psi(\overline{V}_n T_n) < \frac{1}{n};$$

с) для любого $x \in \overline{V}_n \overline{W}_n T_n$ существует $f \in T_{n+1}$ такое, что $\overline{V}_{n+1} t \subset V_n x_i$

Это можно сделать следующим образом.

Пусть W_1 —произвольная окрестность единицы и T_1 —произвольное конечное множество. Возьмем открытое множество O_1 такое, что

 $V_1 = 0$, и $\mu(O_1) < 1$. После этого выберем окрестность V_1 так, чтобы $\overline{V}_1 \subseteq W$, и $\overline{V}_1 T_1 \subseteq O_1$.

Пусть W_n , V_n и T_n построены. Возьмем последовательно W_{n+1} , T_{n+1} , O_{n+1} и V_{n+1} так, чтобы выполнялись условия:

$$W_n^{\scriptscriptstyle \mathbb{C}} \subset V_n$$
: (7).

$$T_{n+1} \supset T_n, \quad \overline{V}_n \overline{W}_n T_n U_n^2 \subseteq W_{n+1} T_{n+1}; \tag{8}$$

$$O_{n+1} = T_{n+1}, \quad P(O_{n+1}) < \frac{1}{n+1};$$
 (9)

$$\overline{V}_{n+1} = W_{n+1}, \quad \overline{V}_{n+1} T_{n+1} = O_{n+1}.$$
 (10)

Продолжая этот процесс неограниченно мы построим последовательности W_n , V_n и T_n , удовлетворяющие условиям (7)—(10). Проверим выполнение условий а)—d), а) следует из (10) и (7), b) следует из (10) и (9), d) следует из (8). Докажем c). Пусть $x \in V_n W_n T_n$. Гогда в силу (8) $x \in W_{n-1} T_{n+1}$, откуда $t=w^{-1}x$, где $w \in W_{n+1}$. Палее в силу (10) и (7) получаем

$$\overline{V}_{n+1}t = \overline{V}_{n+1}w^{-1}x \subseteq W_{n+1}w^{-1}x \subseteq W_{n+1}^*x \subseteq V_nx$$

и условие d) доказано.

Положим

$$F_{i} = W, \quad F_{n+1} = V_{n+1} T_{n+1} \cup (W - W_{n} T_{n})$$

$$M_{i} = \bigcap_{i} F_{2^{i}3^{i}}$$

$$E = \bigcup_{i=1}^{n} M_{i}.$$

Для построенного множества Е справедливо утверждение теоремы 2. Это доказывается повторением рассуждений работы (3). Новым здесь является только условие d), которое нужно будет использовать в соответствующем месте.

Сначала докажем равенство $\psi(E)=0$. Так как $E\subseteq W$, то

$$E = (\bigcup M_1) \cap W = \bigcup (M_1 \cap W_m T_m)$$

и достаточно доказать, что при любых и и m $\mu(M_1 \cap W_m T_m) = 0$. Возьмем k настолько большим, чтобы $2^k > m$ и положим $p = 2^k 3^l$. Тогда

$$M_{i,\Omega} W_{m} T_{m} \subseteq F_{p,\Omega} W_{p-1} T_{p-1} \subseteq \overline{V}_{p} T_{p}$$

откуда

$$\mu(M_{t-1}|W_{m}T_{m})=\mu(\overline{V_{p}}T_{p})=\frac{1}{p}=\frac{1}{2^{k}}.$$

Так как число k можно взять сколь угодно большим, то из последнего перавенства следует $\mu(M_{1} \cap W_{m}T_{m}) = 0$.

Теперь докажем, что для любого счетного множества $A \subseteq V$ существует элемент g такой, что $gA \subseteq E$. Пусть $A = \{x_1, x_2, \dots\}$ Если взять $gx_1 \in I$ 1, 2, . . . и, следовательно достаточно доказать, что множество $gx_2 \in I$ не пусто $gx_3 \in I$ не пусто $gx_4 \in I$

$$\bigcap_{i=1}^{n} Ex_{i}^{-1} \supseteq \bigcap_{i=1}^{n} M_{i} x_{i}^{-1} = \bigcap_{i,k=1}^{n} F_{i,k} x_{i}^{-1},$$

то теореми будет доказана, если мы докажем следующее:

Для любой последовательности точек $z_r \in V$ множество $\bigcap F_r z_r$ не пусто.

Для этого мы построим последовательность точек вида $t_r y_r$, $t_r \in T_r$, $y_r \in V$, $r=1, 2, \ldots$ так, чтобы при любом r выполнялись условия:

$$F_{r-r} = V_{r}I_{r}y_{r},$$

$$\overline{V}_{r}I_{r}y_{r} = \overline{V}_{r+1}I_{r+1}y_{r+1}.$$

Тогда, в силу того, что множества $\overline{V}_{r}\ell_{r}y_{r}$ компактны и образуют убывающую последовательность, будем иметь

$$\prod_{r=r}^{r} F_{r} = \prod_{r=r}^{r} V_{r} t_{r} y_{r} = \emptyset.$$

Перейдем к построению последовательности $t_r y_r$. Пусть t_1 —пронявольная точка из T_1 и $y_1 = z_1$. Тогда $F_1 z_1 \supset \overline{V_1} T_1 z_1 \supset \overline{V_1} t_1 y_1$. Пусть найдены точки t_1 . . . , t_r и y_1 . . . , y_r . Если $\overline{V_r} t_r y_r \subseteq (W - W_r T_r) z_{r+1}$ то $\overline{V_r} t_r y_r \subseteq F_r z_{r+1}$ и можно взять $t_{r+1} = t_r$, $y_{r+1} = y_r$. В противном случае, если учесть, что в силу d) $\overline{V_r} t_r y_r \subseteq W z_{r+1}$, будем иметь $\overline{V_r} t_r y_r \cap W_r T_r z_{r+1} \neq \emptyset$ и следовательно $t_r y_r z_{r+1}^{-1} \in \overline{V_r} W_r T_r$. Тогда, в силу c) существует точка $t_{r+1} \in T_{r+1}$ такая, что

$$V_{r+1}t_{r+1} \subseteq V_rt_ry_rz_{r+1}^{-1}$$

или

Полагая $y_{r+1} = z_{r+1}$ будем иметь

$$\overline{V}_{r-1}t_{r+1}y_{r+1} = \overline{V}_{r+1}T_{r-1}y_{r+1} = \overline{V}_{r+1}T_{r+1}z_{r+1} = F_{r+1}z_{r+1}$$

Продолжая этот процесс неограниченно мы построим требусмую последовательность ℓ_r у,. Теорема 2 доказана.

Так как связная группа порождается произвольной окрестностью единицы, то из теоремы 2, такими же рассуждениями как при доказательстве следствия 1 можно вывести

Следствие 2. Любан связная локально-компактная группа по-рождается некоторым своим подмножествем нулевой хааровой меры.

Ереванский государственный университет

S. IL PILLULARIE

Լոկալ կոմպակա խմբնրի մնջ բազմությունննրի անդաշարժերի մասին

Ապացուցված են հետևյալ Թետլեմները

Թետրեմ 1. Թող Շ և լոկալ կոմպակա խումբ ե, դ-ն Շ-ի Հաարի գափը և

E-ն դրական չափի թազմություն։ Այդ դնպքում կամայական ■ դրական և

ո>լ բնական թվնրի համար, զոյություն ունի միավորի և՛ շրջակայք այնպիսին, որ ցանկացած ռ ելիմննտանոց Ճ ⊂ և՛ բազմության ճամար

$$p \mid g \in G : gA \subseteq E \mid > (1 - \epsilon)p(E)$$
:

& որ & մ 2. Թող G-ն ոչ դիսկրծտ լոկալ կոմպակտ խումբ եւ դ-ճ G-ի Հաարի չափը և Լ-ն միավորի շրջակայը, որի փակումը շ-կոմպակտ եւ Այդ դնպրում զոյություն ունի — բազմություն, որը բավարարում ենևուկալ պայմաններին՝

1) $\mu(E) = 0$

2) Ցանկացած ճաշվելի $A \subset V$ բազմության ճամար զոյություն ունի այնպիսի ելեմենա g $\in G$ որ $gA \subseteq E$ ։

ЛИТЕРАТУРА— ТРИЧИВАНРЫЛЬЬ

1 11. Hadwiger, Comment. Math. Helvet. 19 (1946 47), 236—239 D. Z. Djokovic, Comment. Math. Helvet. 46 (1971), 137—140. J. M. Marstrand, Bull London Math. Soc. 4 (1972), 191—195.



LX 1975

УДК 621 382.2

ФИЗИКА

Член-корреспондент АН Армянской ССР Г. М. Авакьянц. С. Г. Долмазян

Эффекты памяти, обусловленные остаточной проводимостью

(Представлено 9/VII 1974)

Электрофизические и оптические свойства кремния с примесью серебра относительно мало изучены. Имеющиеся данные $\binom{1-4}{4}$ не объясняют наблюдаемых на эксперименте явлении, таких, как температурная зависимость времени спада фотопроводимости, эффекты намяти и разного рода переключений, осуществляемых с помощью сдвоенных импульсов на p^+ -n- n^+ структурах, изготовленных из компенсированного серебром электронного кремния.

Авторами (3) предпринята попытка объяснить закономерности спада фотопроводимости в образцах n-Si, компенсированного се ребром Согласно (3) время восстановления исходной проводимости не должно зависеть от температуры образцов, а с увеличением концентрации компенсирующей примеси время восстановления должно уменьшаться. Оценка времени спада по формулам, приведенным в

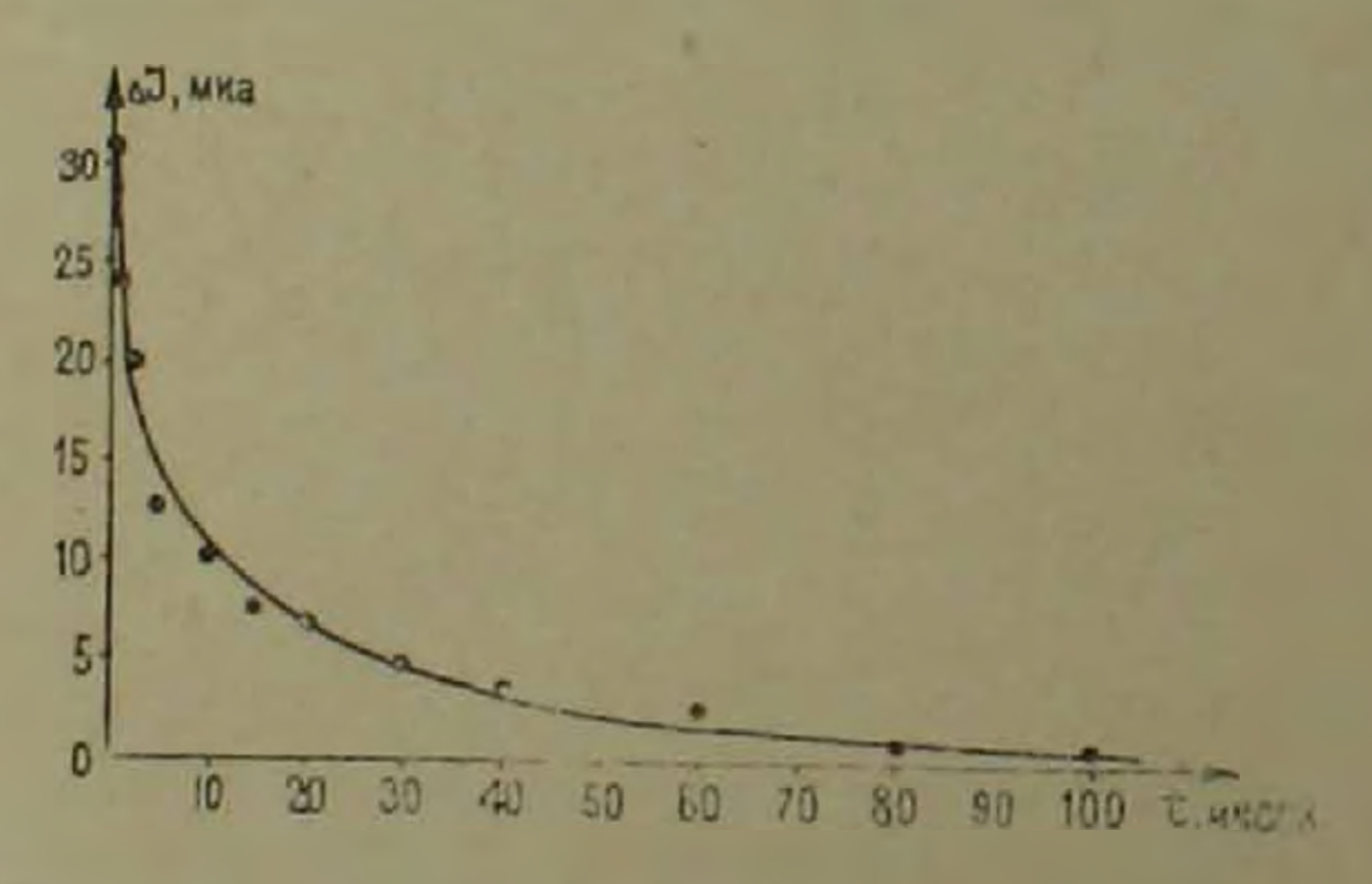


Рис. 1. Кривая спада фотопроводимости

(), в нашем случае дает значения порядка (), мксек, что на несколько порядков меньше наблюдаемых на опыте величии. Такое несоот ветствие результатов теории развитой в (1) с наблюдаемыми на опыте явлениями побудило провести новые расчеты.

Авторы (3) наблюдали на кривой спада фотопроводимости два участка, аналогичные участки на кривой спада наблюдались и в случае проведенных нами экспериментов (рис. 1). Протяженность первого участка, как в случае описанном в (3) так и в нашем, порядка 1 мксек, который сменяется более продолжительным участком. Протяженность первого участка, по времени, не зависела от температуры В случае наблюдаемом авторами (3), продолжительность вгорого участка слабо увеличивалась с понижением температуры, тогда как в нашем случае полное время восстановления изменялось на несколько порядков. В качестве примера можно привести значения постоянной времени при Т 300 К и Т 160 К, здесь происходит увеличение тот 4 до 6 × 103 мксек соответственно.

Как показали расчеты, небольшое увеличение при понижении температуры возможно в случае малых концентраций компенсирующей примеси, как это имело место в случае реализованном авторами (3)

Рассматриваемая ниже модель, объясняющая наблюдаемые явления, качественно отличается от модели, использованной в (3) В случае (3) физическая ситуация представляется авторами следующим образом В момент времени г О, когда возбуждающее действие света прекращено, часть неравновесных дырок валентной зоны рекомбинирует с электронами, находящимися на примесных уровиях серебра (первый, резкий участок на кривой спада фотопроводимости). В последующие моменты времени перавновесные электроны зоны проводимости совершают переходы на акцепторный уровень серебра и восстанавливают исходную концентрацию на этом уровне. Предполагается, что этот

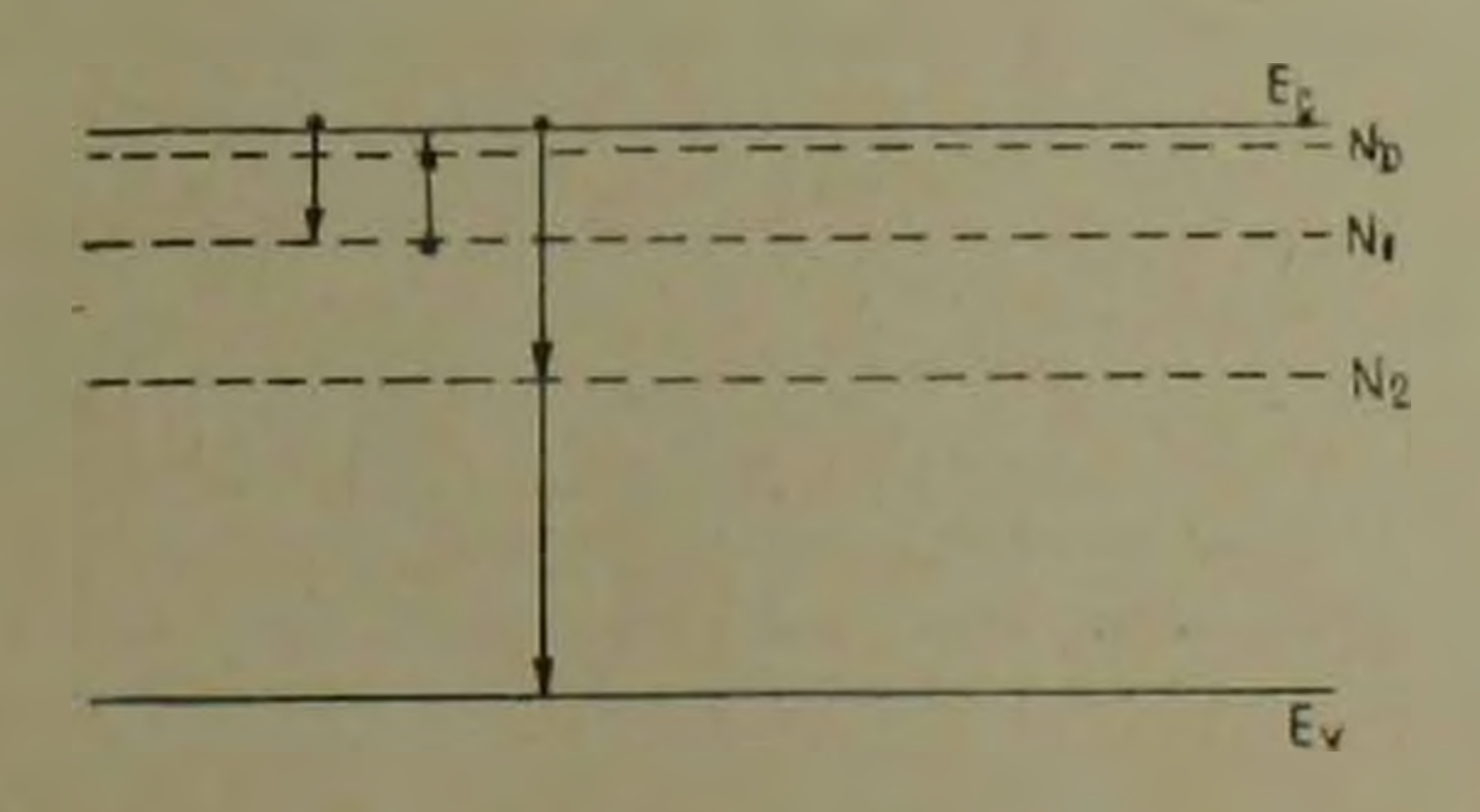


Рис 2 Зонивя модель

процесс продолжается достаточно долго и обуславливает второй участок на кривой спада. В запрещенной зоне предполагается наличне еще одного глубокого акцепторного уровня, образованного дефектами структуры. Однако рекомбинация электронов зоны проводимости

через этот уровень начинается поэже чем прекратится переход эток тронов с уровия серебра в валентную зону.

В случае рассматриваемой нами модели, в запрещенной зоне полупроводника так же содержится уровень, созданный несовершенст. вами структуры, а процесс спада представляется следующим образов В момент времени t=0, неравномерные электроны на зоны проводимо сти переходят на акцепторный уровень серебра (первый участок на кривой спада фотопроводимости). Со временем, захваченные электро ны генерируются в зону проводимости, после чего рекомбинируют через второй акцепторный уровень (рис. 2) с дырками в валентной зоне. Термическая генерация электронов, вообще говоря, медленный процесс и поэтому мы считаем, что второй участок на кривой спада обусловлен этим переходом.

В случае предложенной зонной модели, уравнения, описывающие нэложенную кинетику, запишутся в виде:

$$\frac{\partial N_1^{-}}{\partial L} = \beta_1 n (N_1 - N_1^{-}) - \alpha_1 N_1^{-} - \beta_{p_1} p N_1^{-}$$
 (1)

$$\frac{\partial N_{2}^{-}}{\partial t} = \beta_{2} n (N_{2} - N_{2}) - \alpha_{2} N_{2}^{-} - \beta_{\mu_{2}} \rho N_{2}^{-}$$
 (2)

$$\frac{\partial n}{\partial t} = a_1 N_1^- + a_2 N_2^- - \beta_1 n (N_1 - N_1^-) - \beta_2 n (N_2 - N_2^-) \tag{3}$$

В случае квазинейтральности общее число электронов равно:

$$n = p + N_D - N_1 - N_2. (4)$$

В уравнениях (1-4) использованы следующие обозначения: N_1 и N_2 концентрации акцепторных уровней серебра и образованного дефектами структуры; N_1 и N_2 — концентрация электронов на этих уровнях соответственно; 2, н 22-коэффициенты, характеризующие тепловой выброс электронов этих уровней в E_c : В и β_2 — коэффициенты определяющие захват электронов зоны проводимости на N_1 , и N_2 ; γ_1 и \$_{p2}—определяют захват дырок валентной зоны на акцепторные уровин.

Предполагаем, что $N = N_D$. Это оправдано тем обстоятельством, что, согласно (1), в случае диффузии при 1350 С, концентрация введенных атомов серебра $\sim 10^{17} c.u^{-3}$, а $N_{\rm e}$ неходного креминя $-10^{14} cm^{-3}$, (N_D —концентрация втомов фосфора в исходном S1.) Считая. что $N_1 > N_-$ и и малым и допуская, что рекомбинация электронов с N_1 маловероятна, систему уравнений (1-3) можно переписать так:

$$\frac{dN_1^-}{dt} = \beta_1 n N_1 - \alpha_1 N_1^-, \tag{1}$$

$$\frac{dN_1^-}{dt} = \beta_1 n N_1 - \alpha_1 N_1^-$$

$$\frac{dN_2}{dt} = \beta_1 n N_2 - \beta_{p_2} p N_2^-$$

$$\frac{dn}{dt} = -\beta_1 n N_1 + \alpha_1 N_1^- - \beta_2 n N_2$$
(3')

$$\frac{dn}{dt} = -\beta_1 n N_1 + \alpha_1 N_1 - \beta_2 n N_2, \tag{3'}$$

Поскольку переменные n и N_1 —не зависят от координат, то система уравнений (1—3) записана в полных дифференциалах.

Для определения зависимости числа электронов от премени воспользуемся выражениями (1) и (3'), так как в них учтены переходы носителей, ответственные за наблюдаемые участки на кривой спада фотопроводимости. В этом случае будем иметь следующее дифференциальное уравнение второго порядка:

$$\frac{d^2n}{dt^2} + (a_1 + k)\frac{dn}{dt} + a_1\beta_2 N_2 n = 0, \tag{5}$$

 $rae \qquad k = \beta_1 N_1 + \beta_2 N_2. \tag{5'}$

Решение (5) ищем в виде:

$$n(t) = C_1 e^{x_1 t} + C_2 e^{x_2 t}.$$
(6)

Для да и да находим:

$$\chi_1 = -(\alpha_1 + k) \text{ if } \chi_2 = -\frac{\alpha_1 + k}{\alpha_1 + k}$$
 (7)

так как в момент времени t=0 мы примем, что n=n(0), а $N_1=-N_1^-(0)-N_0$, тогда для коэффициентов в (6) получим:

$$C_{1} = \frac{\gamma_{2}n(0) + kn(0) - \alpha_{1}N_{1}^{-}(0)}{\alpha_{1} + k + \gamma_{2}} \qquad \qquad C_{2} = \frac{\alpha_{1}n(0) + \alpha_{1}N_{1}^{-}(0)}{\alpha_{1} + k + \gamma_{2}}$$
(8)

Нетрудно заметить, что показатель степени первой экспоненты $\chi_1 = -(z_1 + k)$ не зависит от температуры и обеспечивает первый участок на кривой спада. Это легко показать, считая $k \gg z_1$, что действительно выполняется, так как согласно (5') $k = \beta_1 N_1 = 10^{10} \ cek^{-1}$. Показатель второй экспоненты χ_2 при $k = -\frac{3 N_2}{k}$ и уже существенно зависит от температуры, так как $z_1 = \exp(-\frac{|\Delta E|_k T|}{k})$, что обуславливает зависимость от температуры хвоста спада фотопроводимости.

Исследования температурной зависимости постоянной времени спада фотопроводимости осуществлялись в режиме малого нагрузочного сопротивления. Возбуждение перавновесной фотопроводимости осуществлялось с помощью GaAs светоднодов с и - 0,92 мкм. Нижекционный светоднод питался прямоугольными импульсами с генератора Г5—7А, где их елась возможность изменять не только частоту следования, но и длительность электрических импульсов Спад фотопроводимости наблюдался на экране осциллографа С1—54. Образцы компенсированного кремния, изготовленные по технологии, описанной в (1) резались на полоски размерами 3×8×0,5 мм³, на торцы которых напосились омические контакты.

В процессе проведенных исследований было выявлено, что постоянная времени спада т существенно увеличивается с понижением температуры. За исходную величину фототока принималось его зна-

¹ Авторы выражают благодарность Л М Капптоновой за номощь в приготовлеши образцов

чение, соответствующее началу второго участка на кривой спадатакой выбор величины ΔI_0 обусловлен тем, что протиженност первого участка по току не зависела от температуры и была постоянной при фиксированном значении мощности излучения светоднода Нам удалось наблюдать увеличение тот 4 до 6.5 · 103 мксек, (рис. 3)

Из наклона кривой (взятой в полулогарифмическом масштабе зависимости с от обратной температуры была определена энерги активации акцепторного уровия.

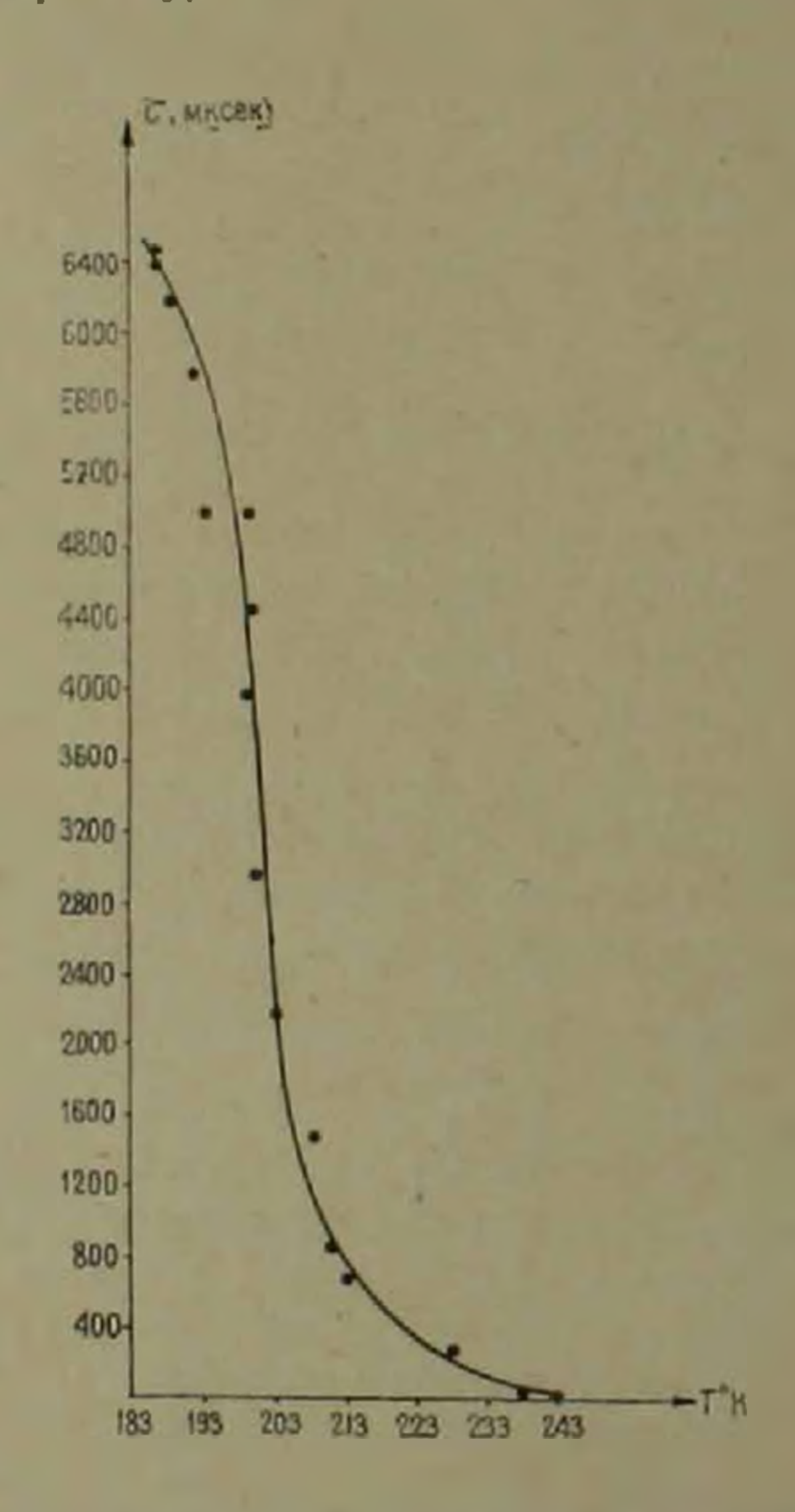


Рис 3. Зависимость постоянной времени спада фотопроводимости от температури

Полученное значение 0,31 находится и хорошем согласии с результатами работ (2-5).

Явленне остаточной проводимости проявлялось на ряде наблюда емых нами эффектов. В частности, при относительно низких темпера турах в импульсном режиме на рэн по днодах (5) был обнаружен эффект памяти. Сущность этого эффекта заключалась в том, что про временах томежду импульсами, меньшими происходиле увеличение папряжения срыва. На дноды, при темпера подавале

сигнал амилитуды $V_0 = V_{cp}$ и диоды переключались в открытое состояние При последующем уменьшении амплитуды подаваемого электрического импульса до $V_1 < V_0$ диоды все еще продолжали оставаться в открытом состоянии, сохраняя информацию, полученную предшествующим импульсом.

При комнатных температурах с помощью сдвоенных импульсов наблюдались на рэпп днодах эффекты пеерключения

На диоды с некоторой задержкой т подавались сдвоенные прямоугольные импульсы (рис. 4). Амплитуда первого импульса (назовем его предсигналом) в начальный момент времени была равной нулю (рис. 4,a). В тот же момент на диод подавался второй импульс (основной сигнал) с амплитудой V достаточной, чтобы с некоторой задержкой переключить диод из закрытого состояния в открытое. На протяжении всего эксперимента амплитуда основного сигнала сохранялась постоянной.

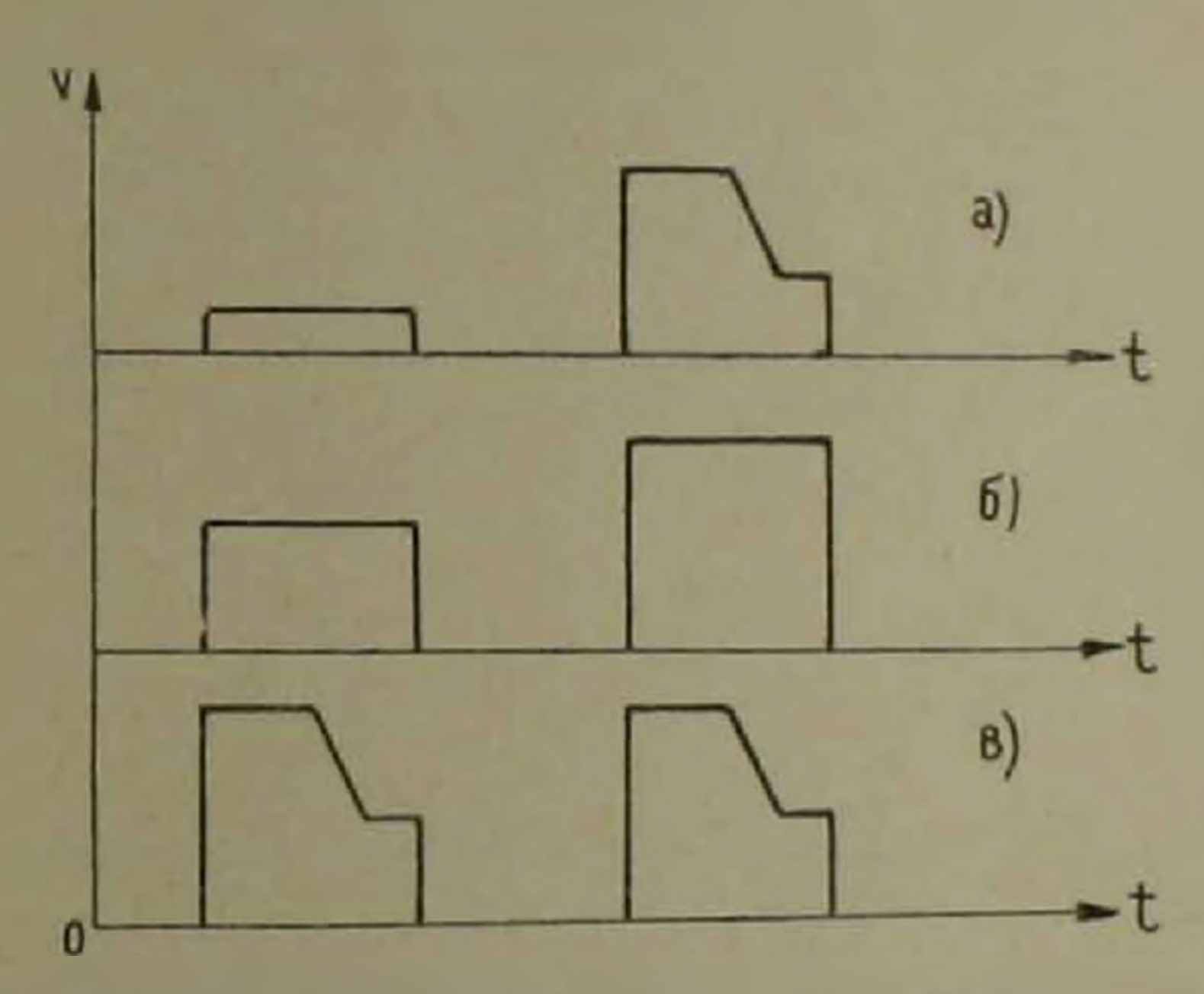


Рис. 4. Диаграмма, иллюстрирующая переключения сляченными импульсами

В последующие моменты времени амплитуда предсигнала плавно увеличивалась. При достижении некоторого значения $V_i < V_{cp}$, анод, который был переведен в открытое состояние основным сигналом, переключался в закрытое состояние (рис. 4.6). При последующем увеличении V_1 , до значений больших величин напряжения срыва, днод этим сигналом переключался в открытое состояние. В этот момент времени, днод, смещенный до срыва основным импульсом, возвращался в исходное открытое состояние (рис. 4.8). Следует отметить, что днод все время между событиями, изображенными на рис. 4, 6 и в, находился в закрытом состоянии.

В случае, когда 🖘 Івосет, описанные эффекты переключения и па-

мяти исчезали

Описанные эффекты, как нам кажется, согласуются с предложенной моделью, объясняющей остаточную проводимость. Действительно в случае эффектов переключений, предполагается, что диоды основным сигналом переводятся в открытое состояние, в этот момент времени концентрация электронов на N_1 , мала, так как считаем, что за формирование ОС ответственна раскомпенсация акцепторного уровня серебра. Тогда инжектированные предымпульсом носители частичий заполняют уровень N_1 , что приводит к тому, что N_1 , уже не раскомпенсирован, а такому состоянию N_1 соответствует закрытое состояние днода и приборы переключаются в высокоомное состояние. При вели чинах амплитуды предсигнала, достаточных, чтобы осуществить переключения в открытое состояние ($V_1 > V_{\rm ep}$), ситуация в базовой области изменяется. В этом случае материал раскомпенсирован и число электронов на N_1 мало, последнее приводит к тому, что диод основным сигналом переключается в исходное (открытое) состояние.

Аналогичная ситувция возникает и в случае эффекта памяти. Здесь поскольку $1 < t_{восст}$, происходит накопление электронов на N_1 , что затрудняет раскомпенсацию и влечет к увеличению величины V_{co} . После того как диод переключился время восстановления уменьшается и уже больше $t_{восст}$. Это ведет к возможности уменьшения амплитуды переключающего сигнала.

В заключении авторы считают своим приятным долгом выразить благодарность А. А. Лебедеву за оказанную помощь в проведении экспериментов и полезные дисскусии.

Институт радиофизики и электроники Академии наук Армянской ССР

Հայկական IIIIՀ ԳԱ թղբակից-անդամ Գ Մ, ԱՎԱԳՅԱՆՑ, Ո Գ ԳՈԼՄԱԶՅԱՆ

Մնագուղային ճաղուդականությամբ պայմանավուված ճիշողության էֆեկտնեւ

տիձանային կախվածության ւնտաղոտությունները պրդյունընները։ Նմուշննրի Համար ֆոտուոսանքի անկման ժամանակի Հաստատունի չնրմաս-

ովուշների չերմուստիճանով։

Խիճանից, մինչդեռ երկրորդ տեղամասի ձգվածությունը կախված չէ չերմասղամաս. Ընդ որում, առաջին տեղամասի ձգվածությունը կապես որոշվում է

Ծշվում է, որ ֆոտուսստիճանով։

Նոված Հետաղոտություններից բացի աշխատանրում նկարագրվում են նաև մի քանի անոմալ էֆեկտներ, որոնք նկատվում են դիողային կառուդվածքներն իմպուլսային ոնտիմում շետաղոտելու ժամանակ։ Նկատված էավանված թը դրտնանանիր չտվանանայացին այի թը ատիս հանուանրես փանգավ միաված բերավիրըն, սեսցի տակար այրը աստետեղարը գարութերըն լրատեղաց թերավերը, սեսցի անձևոր այրը աստետերը արութերըն լրատեղաց արանկաց արանանան այրը աստետերը արութերըն լրատեղաց արանկան անձևութերըն այրը աստետերը արութերը լրատեղաց արանկան արևութերըն արձևութերըն այրը աստերանան արևութերըն արևութերըն արևութերըն

ЛИТЕРАТУРА—ЭРИЧИБИНЕВИНЬ

16 11 Болтакс, Сюн-ши-инь. ФТГ 2 2, 383(1961) ² F. L. Thirl, S K Ghandhi. Appl Phys. 41, 254 (1970). ³ P. S. Smith, A. C. Milnes Inter I of Electroniks 3, 30, 4 (1971). ⁴ A. A. Лебедев. А. Т. Мамадалимов III Михкимов ФГП, 6 №11, 1972. 7. М. Линьяни. С Г. Долмазан. Э. А. Хазарджин, ДАН Арм ССР, 1. IVII 1 (1973.)

LX 1975

S/IJK 523.03

АСТРОФИЗИКІ

А. Л. Гюльбудагян

Поведение фуора V1057 Лебедя после его возгорания

(Представлено вкадемиком В. А. Амбарцумяном 9/XI 1974)

До настоящего времени нам известны только два фуора (V1057 Д, бедя и I-U Орнона). Наблюдения показали, что у них через некоторо время после возгарания блеск асимитотически стремится к определенному стационарному значению, которое примерно на 5 величии ярм среднего блеска, имевшего место до возгорания. Это значение правтически достигается через 3—4 года после возгорания. Так, ввезду V1057 Лебедя несколько убывала в блеске в течение 1971—1973 и причем теми убывания при этом уменьшался.

В данной работе, на основе гипотезы В. А. Амбарцумяна (*) делается полытка объяснить поведение звезды V1057 Лебедя с 1971 г по 1973 г. Как известно, в начале 1971 г. этот фуор являлся сверхгиган том спектрального класса А1 с эмиссионными лициями водорода кальция (*). У него обнаружилось небольшое избыточное излучения в U и довольно большой избыток излучения в инфракрасной област спектра (*). К середине 1972 г. это уже был гигант класса FO, по уж без ультрафиолетовой эмиссии (*). К 1973 г. спектральный класс изменился до F1 — F2 с признаками еще более поздних классов (частное сообщение Г. Велина). Уменьшение светимости, наблюдавшееся посм максимума, к середине 1973 г. почти прекратилось (*). Таким образом состояние фуора после достижения им максимального блеска подвер гается некоторым существенным изменениям, но затем оно приближается к стационарному.

Согласно гипотезе В. А. Амбарцумяна (1), в результате вснышк происходит отрыв оболочки, вследствие чего обнажаются горячи подфотосферные слои. Последние и служат в первое время последными отновным источником энергии, перерабатываемой оболочкой выдимое излучение. Из-за несоответствия между энергией, поставляемой внутризвездными источниками энергии, и энергией, излучаемой самой звездой, последняя начинает остывать. Постепенно становится все более существенным нагревание оболочки протонами и электронами, пспускаемыми околозвездным источником (последний предпола-

гается постоянным), а в дальнейшем этот процесс становится преобладающим. Предполагая, что в 1973 г. оболочка в основном нагревалась протонами (кинетическая энергия электронов мала по сравнению с энергией протонов, поэтому действием электронов мы пренебрегаем) и имея светимость фуора к этому времени ($L=5,2\cdot 10^{10}$ эрг сек), можем принять ее равной энергии, поглощаемой от протонов. Вычитая из светимости фуора энергию протонов, можно найти светимость внутренней звезды в рязные моменты времени. Имеем / =6.28 - 1036 эрг/сек весной 1971 г., $L=10^{17}$ эрг/сек в максимуме и $L=2\cdot 10^{18}$ зрг/сек летом 1972г. Имея (*) эффективную температуру (Till=5100*) и светимость ($L_*=4,86 \cdot 10^{34}$ эрг/сек) внутренней звезды до вспышки (2). можем найти ее радиус $R=3,27-10^{11}$ с.ч. Предполагая, что радиус внутренней звезды существенно не отличается от радиуса звезды до вспышки, и имея светимость внутренней звезды после отрыва оболочки, можем найти се поверхностную температуру. К весне 1971 г. значение T=17120, к середине 1972 г. T=12900, а в максимуме блеска $T_{\bullet} = 19000$. Принимая массу внутренней звезды равной M ==7.44 М (это значение согласуется с оценкой, принятой в (1), для ускорения силы тяжести на поверхности внутренней звезды получаем $g=0.92 \cdot 10^4 \ c. м/сек^2$. Зная эффективную температуру внутренней звезды до вспышки и ускорение силы тяжести на ее поверхности, можем нспользуя модель звездной фотосферы (6), найти плотность на уровне, где T = 19000. Пользуясь формулами $n = n \left(\frac{1}{T_{-}} \right)$ и $M = 4 = r^{2} m_{H} / n dr$,

можем найти массу выброшенного вещества $M=8\pi r^2-T$, n (интегрирование по r заменено интегрированием по T с употреблением соотношения $\frac{dT}{dr}=-\frac{2}{19}\frac{m_0}{k}$). Имеем $M=2.3\cdot 10^{27}$ г. Массу оболочки

можно оценить тем же способом. Далее мы получим для оболочки значения T_{eff} , g, n_* и F_* (n и T_* — соответственно илотность и температура внутренней границы оболочки). Подстановка этих значений в соответствующую формулу дает $M{=}1,1 \cdot 10^{37}$ г. Отсюда видно, что часть выброшенного вещества простирается за оболочку. Это вещество образует область HII, дающую эмиссионные линии, а также область, дающую избыточное инфракрасное излучение.

Как было принято выше, в 1973 г. оболочка в основном нагревалясь протонами. Для улобства расчетов принимается минохроматический поток протонов с кинетической эпергией $\frac{1}{2}$ фективная температура оболочки принимается равной $\frac{7}{100}$, радкус оболочки $r=1.68\cdot 10^{12}$ см. ускорение силы тяжести в оболочке $\frac{1}{2}=3.5\cdot 10^{12}$ см. ускорение $\frac{1}{2}=3.5\cdot 10^{12}$ см. ускорение $\frac{1}{2}=3.5\cdot 10^{12}$ см. ускорение $\frac{1}{2}=3.5\cdot 10^{12}$ см. ускорени

ней границы оболочки. Нмеем T_* =8750°, n_* =6,14 · 1015 см 3, n_e = =1,41 · 1014 см 3.

$$= \sum_{i=1}^{\infty} A_{ci} = \left(\sum_{i=1}^{\infty} A_{ci} z_{i} + f \right) + \frac{n_{1}}{n_{1}} \left(\sum_{i=1}^{\infty} C_{1i} h v_{1i} + C_{1c} h v_{1c} \right), \tag{1}$$

$$n_e \frac{n}{n_1} = \frac{g}{g_1} \sqrt{\frac{T_e}{T_e}} \frac{2(2\pi m_e k T_e)^{3/2}}{T_e} e^{-\frac{h_1}{kT_e}}, \qquad (2)$$

где (1)—уравнение энергетического баланса свободных электронов, а (2)—уравнение нонизационного равновесия. Имеем $n_1=2\cdot 10^{12}$ см⁻¹, $n_e=4,3\cdot 10^{13}$ см⁻³, $T_e=8500$ (здесь температура лаймановского континуума взята равной 10600). Решая приближенным методом Шустера уравнение переноса для L_4 излучения и уравнение стационарности для второго уровия, найдем $n_2=3,41\cdot 10^6$ см⁻³. Искомое n_4 получаем из системы

$$n_{3}[(A_{32}+A_{31})+n_{e}(C_{32}+C_{31})]=n_{e}n_{A_{c3}}+n_{1}n_{e}C_{11}+n_{2}n_{e}C_{21}+n_{4}(C_{43}n_{e}+A_{43}),$$
(3)

$$n_4(A_{43} + A_{42} + A_{41}) + n_c(C_{33} - C_{42} + C_{41}) = n_c n \cdot A_{c4} + n_1 n_c C_{34} + n_2 n_c C_{24} + n_3 n_c C_{34},$$
(4)

где (3)—уравнение стационарности для третьего уровня, а (4)—для четвертого. В уравнении (3) мы пренебрегли членом, учитывающим возбуждение второго уровня излучением оболочки, так как этот член мал по сравнению с $n_e n^+ A_{cs}$. Здесь нет надобности строить теорию переноса излучения в линии H_* , так как оптическая толщина зоны НП в линии H_* порядка 0, 1. Из этой системы имеем $n_s = 2, 24 \cdot 10^6$ см.— Нас интересует отношение светимости в линии H_* к светимости в непрерывном спектре около линии H_*

$$\frac{E_{Ha}}{E_{\lambda 6563}} = \frac{2\pi r^2 A_{32} h_{23} n_3 l (e^{\frac{39}{24761}} - 1)}{2\pi r^2 A_{32} h_{23} n_3 l (e^{\frac{39}{24761}} - 1)}$$

где Δ_{23} — доплеровския ширина линии H_{*} . Для этого отношения имеем $\frac{E_{*}}{E_{*}}$ — 1. Если пытаться рассматривать наблюдаемое избыточное излучение в качестве излучения бальмеровского континуума зоны 92

HII, то для этого пужно иметь температуру > 15000, что лает для отношения—— значение порядка нескольких десятков.

Принимая для лета 1972 г. T_{eff} =7740°, плотность в зоне НП n= $4.2 \cdot 10^{13}$ с.м 3 и температуру в лаймановском континууме T_{\bullet} =9100°, можем найти излучение в линии H_{\bullet} . Действиями, аналогичации описанным выше, получаем n_{\bullet} =8.5 $\cdot 10^{5}$ с.м $^{-4}$, n_{e} =2,8 $\cdot 10^{13}$ с.м $^{-4}$, T_{e} =

 $=7100^{\circ}, \frac{E_{H_0}}{E_{10000}} \approx 0.1$, т. е. эмиссионняя линия еще может наблюдаться.

Таким образом, в данной работе, на основе гипотезы В. А. Амбар пумяна, сделана попытка интерпретировать поведение фуора V1057 Лебедя. Масса выброшенного звездой вещества во время всимшки и масса оболочки, посчитанные независимыми способами, получают подного порядка, что говорит о возможности выброса этой оболочки звездой. Эмиссионная линия $H_{\rm e}$, которая излучается областью НП, расположенной около звезды, получается четкой для весны 1971 г. и еле различимой для лета 1972 г., что и наблюдалось в действительности. В пользу модели с выбросом оболочки следует добавить тот факт, что в первое время после вспышки, линии, принадлежащие звездному спектру, были смещены на —60 км/сек что говорит о расширении оболочки со скоростью ~—40 км/сек (так как скорость самого фуора —20 км/сек) В дальнейшем смещение линий уменьшилось ло значения, соответствующего скорости самого фуора, т. е. расширение оболочки прекратилось (5).

Бюраканская астрофизическая обсерватория Академии наук Армянской ССР

IL. L. PROPHERMENTALIZATIV

V 1057 Կառապի ֆուուբի վառքն իր բոնկումից ճետո

Սույն աշխատանքը նվիրված է \ 1057 Կարապի ֆուորի հետ 1971—
1973 P P. ժամանակաշրջանում կատարված երևույթների պարզաբանմանը
(۱)-ում առաջարկված մոդելի հիման վրա Ցույց է արված, որ պայքյունի
հետևանքով աստղից դուրս շպրտված նյունի և նրան շրջապատող քաղանքը
նույն կարգի զանգվածներ ունեն։ Դա խոսում է օգուտ այն բանի, որ քաղանքը
հենց այդ դուրս շպրտված նյունից է առաչացել։ հույց է տրված, որ ջրանի
հատագայթման գծերը կարելի է բացատրել ֆուորին շրջապատող ակրույնի

JI H T E P A T Y P A — P P U 4 U V N P S N P V

* В. А. Амбарцумян, Астрофизкка, 7, 557 (1971). * G. H. Herbig, A. E. Harlan, 18VS, NO. 543 (1971). * E. E. Mendoza V., Ap. J., 169, L11 (1971). * G. Rieke, 7. Lee, G. Coyne, S. J., PASP, 84, 37 (1972). * G. L. Grasdalen, Ap. J., 181, 781 (1972). * F. Gileseking, 18VS, NO. 806. (1973). * G. L. Grasdalen, Ap. J., 181, 781 (1973). * C. de Jager, L. Neven, Recherches Utrecht, XIII(4). 5 (1951). * Гюльбудаеян, Сообщ Бюр. обс., 47(1975).

VAK 699 841

ИНЖЕНЕРНАЯ СЕЯСМОЛОГИЯ

Авидемик АН Арминской ССР А. Г. Назаров

К проблеме исследований по инженерной сейсмологии

(Представлено 18/11 1975)

Исследовательская работа в области инженерной сейсмологинаходится на стыке геологии, сейсмологии и строительной механики В наиболее строгой постановке проблема инженерной сейсмологи есть проблема механики твердых деформируемых тел, начиная с процесса возникновения землетрясений в очаге, его распространения, я кончая его воздействием на сооружения. При этом сооружение рассматривается как часть рельефа местности.

Если отвлечься от законов формирования сейсмических поли в очаге и на пути к сооружению, то рассматриваемая задача механики существенно упрощается. Для этого надо знать закон распространения сейсмических воли на подступах к основанию сооружения, а также механические свойства грунта и самого сооружения. Даже в такой упрощенной постановке задача все же остается сложной. Поэтому на практике вынуждены принять ряд дополнительных упрощающих предпосылок.

В конечном счете, в современных условиях инженерная сейсчо логия построена по следующей схеме.

- 1. Для оценки интенсивности сильных землетрясений, опасных для сооружений, составлена сейсмическая шкала, по которой устанавливается балл землетрясения. Оценка баллов этой шкалы в основном осуществляется по характеру и степени повреждения построек.
- 2. Составлена карта сейсмического районнрования, главной ис ходной предпосылкой которой является правдоподобное положение принятое сейсмологами, геологами и инженерами, что ожидаемая мак симальная интенсивность землетрясения на ближайшие сотии лег должна быть примерно такого же порядка, как и в историческом прошлом Интенсивность землетрясений на этой карте оценивается по сейсмической шкале, т. е в баллах.

Настоящая работа явилась результатом систематических исследований автора по сейсмической шкале (3).

^{**} Это подробно рассмотрено А А Дерквиевым (*) 94

3. Для заданной конкретной площадки этот балл уточниется па основе локальных геологических условий (сейсмическое микрорайони-рование).

4 На основе уточненного балла осуществляется эпална сопротивляемости сооружений сейсмическим воздействиям при тех или ичых

упрощающих предпосылках.

Наиболее распространен в настоящее время спектральный метол расчета сооружений на горизонтально направленную сейсмическую нагрузку, в предположении их жесткой заделки в основание, причем принимается, что все точки основания совершают колебания в одной фазе. Имеются также в той или иной степени развития более синершенные методы анализа сенсмического воздействия на сооружения например, учет податливости основания с соблюдением условий сопря жения с фундаментом, учет упруго-пластических деформаций, учет пространственной работы элементов сооружения, учет волнового карактера распространения сейсмического возмущения, учет двух или даже всех трех компонентов сейсмических колебаний, трактовка сейс мических нагрузок как случайных процессов (стохастическая теория сейсмостойкости). По существу все эти методы анализа требуют знания либо спектров реакций, либо вектора смещения почвы на рассматриваемой площадке в функции от времени, каким-то образом унязвиных с представлением о балле землетрясения.

В настоящее время развиваются и совершенствуются методы сейсмического районирования и микрорайонирования. Создается даже аниарат, частично формализованный и изложенный на языке инструкций и руководств (3). Этот випарат достиг уже значительного развития и совершенствуется далее, но он базируется на крайне шаткой и соминтельной во многих отношениях сейсмической шкале, подразделяющейся на баллы, не имеющие строгого определения и ясных количественных образов.

Была проведена за последние годы большая работа по совершенствованию сейсмической шкалы для инженерных целей, в которой принимал участие и автор настоящей статьи Внесено много различных предложений, уточиений, делались понытки введения в шкалу более полных количественных характеристик для оценки баллов. Но все же и новые варианты сейсмических шкал оказались далекими от совершенства Объясияется это тем, что структура сейсмической шкалы порочна в самой своей основе (2). Поэтому речь илет о необходимоста коренной перестройки в методах оценки интенсивности землетрясения

В настоящее время существует несколько точек зрення о мере сейсмической интенсивности. Но если иметь в виду, что процесс развития методов инженерной сейсмологии неотвратимо должен следовать фарватеру механики, какие бы трудности ин пришлось преодолеть, то имеет право на существование лишь одно единственное определение интенсивности землетрясения.

За меру сейсмической интенсивности в данной точке следует при-

нять вектор смещения в функции от времени.

В основу оценки этого вектора можно поставить акселерограммы велогиграммы или сейсмограммы, что безразлично, так как в принципе они должны однозначно преобразовываться друг в друга путем интегрирования или дифференцирования, если пренебречь остаточным смещением основания сейсмического прибора При современном состоя или сейсмического приборостроения для регистрации сильных землетрясений, по-видимому, наиболее предпочтительными являются акселерографы, как по точности записи, так и большей надежности их работы

Однако, в современных условиях, как указывалось выше, нет возможности предопределить ожидаемую акселерограмму. Может идтя речь лишь об ожидаемой, вероитной акселерограмме. Поэтому окончательно останавливаемся на следующей формулировке о мере интенсивности землетрясения, придав ей вероятностный характер.

За меру сейсмической интенсивности в данной точке следует при нять совокупность вероятных векторов смещений в функции от времени

Имея набор вероятных акселерограмм от различных возможных очагов и зная механические свойства сооружения и групта, мы можем дать вероятностную оценку поведения сооружения, а в наиболее ответственных случаях дать оценку поведения сооружения по методу огибающих. Располагая такой мерой, нетрудно подсчитать и вероятный спектр реакций и их огибающую для более упрощенного анализа сейсмического воздействия на сооружения.

Такая формулировка меры сейсмической питенсивности была частично принята нами при попытках улучшения сейсмической шкалы, но не увенчалась должным успехом в связи с дефектами в самой структуре шкалы (3).

В результате мы пришли к идее о целесообразности отказа от сеисмической шкалы, сменившейся впоследствии убеждением в необ-ходимости полного отказа от нее (4). В свое время шкала играла прогрессивную роль, в современных же условиях она устарела.

В настоящей статье мы выступаем именно с этой позиции. Основ ной вопрос сподится к следующему каким образом получить набор записей ожидаемых сильных землетрясений в рассматриваемом пункте?

Для этой цели предлагается следующий путь,

- 1. Собрать в планетарном масштабе все инструментальные записн сильных землетрясений, характера и поведения сооружений в зоне расположения сейсмического прибора, записавшего данное землетрясение, оценки балла, а также описание локальных геологических условий окрестности этой станции.
- 2 Собрать основные сейсмологические параметры очагов сильных землетрясений (магнитуда, глубина, строение очага), если имеются по ним какие-либо данные.
- 3. Собрать необходимые геологические данные, в особенности данные о разломах и хребтах, пересекающих траекторию сейсмического луча от очага к пунктам, где велись инструментальные наблюдения

4. На основе всех собранных данных составить подробный каталог и альбом сильных землетрясений, что будет служить основой для всех инженерно-сейсмологических исследований в дальнейшем

Следующим важным этапом является обеспечение пресмственности между оценкой интенсивности землетрясений по сейсмической шкале и по инструментальным данным в статистическом смысле. Это необходимо для максимально возможного использования сенсмостатистики прошлых землетрясении.

Для этой цели необходимо провести следующую работу.

- 1. В каждом возможном случае сопоставлять сейсмическую запись в данном пункте наблюдения, с повреждениями построек, расположенных в окрестности этого пункта.
- 2. Собирать в сейсмических районах данные о тиничных местных постройках и архитектурных памятниках старины с характеристикой прочностных данных материала стен и перекрытий. Весьма ценно было бы осуществление статических и динамических испытаний этих построек или их моделей до стадии разрушения.

Необходимость сбора таких данных вызвана тем, что в сейсмических шкалах оценка балла производится по остаточным деформациям, т. е. по изменению геометрических конфигураций, таким образом совершенно не приводится силовая сторона сейсмического воздействия столь важная для оценки интенсивности землетрясений по повреждениям.

3 На основе данных о макросейсмических полях землетрясений в прошлом, а также современных данных сейсмогеологии произвести оценки магнитуд и глубии их очагов. Для этой цели можно пользоваться методикой Н В. Шебалина, а также эмпирическими формулами, связывающими магнитуду, глубину очага и эпицентральное расстояние с баллом землетрясения Все такого рода данные также должны быть сведоны в каталог землетрясений исторического прошлого.

После такой подготовительной работы можно приступить к подбору вероятных акселерограмм для площадки в несколько десятков или сотен квадратных километров примерно следующим образом.

- 1. На рассматриваемой илощадке выбирается опорная точка, напболее для нее характерная. Если на этой площадке имеется сенсмическая станция, то за опорную точку следует принять территорию самон станции.
- 2. Рассматриваются возможные сейсмические очаги, могущие представить угрозу для данной опорной точки. Оцениваются магнитуды, глубины возможных землетрясений, расстояния до эпицентров и характерные геологические особенности на пути сейсмического луча.

По каталогу и альбому сильных землетрясений подбираются подходящие акселерограммы, которые и считаются характерными для данной плошадки.

Чем большее количество данных зарегистрировано, тем точнее можно подобрать нероятные акселерограммы для рассматриваемого опорного пункта.

- 3. В настоящее время мы располагаем недостаточным количеством акселерограмм и, вместе с тем, имеем дело с огромным разнообразием геологических условий. Поэтому существенную роль должны играть вспомогательные методы, связанные с построением синтетических акселерограмм, основанных на анализе и трансформации существующих акселерограмм сильных или даже слабых землетрясений. Методы эти должны контролироваться по существующим фактическим данным.
- 4. Установив возможный набор акселерограмм для опорного пункта рассматриваемой площадки, можно приступить к подбору акселерограмм для других пунктов этой площадки (проблема сейсмического микрорайонирования). Этим должно оцениваться искажающее влияние смены грунтовых условий и рельефа местности.

Для этой цели должны использоваться:

- а) Альбом и каталоги землетрясений сильных и даже слабых.
- б) Результаты вспомогательных инструментальных наблюдений за слабыми и даже слабейшими землетрясениями с помощью сети временных сейсмических станций, расположенных в опорной и других характерных точках изучаемой площадки, для установления сравнительных данных по частотно-амплитудным характеристикам землетрясений. Желательно для этой цели создание специальной передвижной станции для синхронной записи слабых землетрясений с помощью разбросанных по исследуемому сейсмическому полю датчиков.
- в) Теоретические исследования с помощью волновых или лучевых интерпретаций распространения сейсмических возмущений при данных геологических условиях.

На основе полученных данных конструируется набор вероятных акселерограмм для интересующих нас пунктов рассматриваемой площадки.

В заключение вновь вернемся к сейсмической шкале. Если в результате сбора ансамблей ожидаемых акселерограмм и отвечающих им спектров реакции наметится возможность хотя бы их приближенного линейного упорядочения, мы сможем их перенумеровать натуральными числами и эти числа объявить баллами землетрясений, а совокупность баллов назвать сейсмической шкалой.

Из изложенного следует также, что инструкции и руководства, разработанные для сейсмического районирования и микрорайонирования, в значительной степени сохранят свое значение и для рассматриваемой здесь методики при условии их перестройки с заменой в них понятия о балле на понятие о векторе смещения групта в функции от времени.

В современных условиях сейсмическая шкала является ненужным и даже вредным посредником между характеристикой интенсивности землетрясения и вектором смещения грунта в функции от времени.

Принятие непосредственно вектора смещения групта за характеристику интенсивности землетрясения избавляет исследователя от выполнения ряда условностей и сокращает количество волевых актов при

переходе от одной условности к другой. Уже сейчас передовые практики сейсмостойкого строительства в ответственных случаях в своих расчетах исходят из реальных акселерограмм, среди которых большой популярностью пользуется, например, знаменитая акселерограмма Эль-Сентро.

Исследователи (геологи, сейсмологи и инженеры) должны помочь практикам в правильном подборе расчетных акселерограмм в зависимости от конкретных геолого-сейсмологических условий и типа сооружения.

Мы надеемся в будущем выступить с подробно развернутой аргу-ментацией высказанных здесь положений*.

Ордена Трудового Красного Знамени Институт геофизики и инженерной сейсмологии Академии наук Армянской ССР

Հայկական III2 ԳԱ ակադեմիկոս Ա. Գ. ՆԱԶԱՐՈՎ

Ինժենեւային սելսմոլոգիայի վեռաբեռյալ նետազոտությունների պրոբլեմի շոււջը

Հոդվածում առաջարկվում է ինժեներային սեյսմոլոգիայի վերաբերյալ Տետաղոտություններ կատարելիս երկրաշարժի բալի դաղափարի վրա չՏենվել, Նրա բնորոշման Տասկացության բացակայության պատձառով։

Տվյալ տեղամասի սեյամիկ ինտենսիվության քանակական գնահատման համար առաջարկվում է ընդունել դետնի (երկրաշարժի դեպքում) ժամանակի ընթացքում փոփոխվող տեղափոխությունների հավանական վեկտորների համա-խումբը։ Այդ նպատակի համար հիմք պետք է ծառայեն ամբողջ աշխարհի բուրո ուժեղ երկրաշարժերի ատլասն ու ալբոմը, որոնցում պետք է բերվեն ուժեղ երկրաշարժերի դրանցումները և նրանց համապատասխանող սելամոլոգիական և մակրոսեյամոլոգիական տվյալները։ Իմանալով տվյալ տեղամասի երկրա-բանական պայմանները և պոտենցիալ վտանգ ներկալացնող մոտակա երկրա-արժի օջախներն այդ ալբոմի տվյալների։

Այնուհետև սխեմատիկորեն նկարագրված է ինչպես իրականացնել սեյսմիկ շրջանցում և միկրոշրջանցում ալբոմում գտնվող երկրաշարժերի գրանցումների Հշտման, սինքետիկ ակսելերոդրամների ստեղծման և Բույլ երկրաշարժերի դրանցումների հետ համեմատման միջոցով։

ЛИТЕРАТУРА — ЧРИЧИБИЕР ЗПЕБ

¹ А. А. Деркачев, Методы регуляризации некорректных задач теории сейсмических нагрузок, изд. «Дониш», Душанбе, 1972. Методические рекомендации по сейсмическому районированию территории СССР, АН СССР. ИФЗ, М., 1974.
³ А. Г. Назаров, С. С. Дарбинян, Основы количественного опредсления интенсивности сильных землетрясений. Изд. АН Армянской ССР, Ереван, 1974.
⁴ А. Г. Назаров, ДАН Арм. ССР, т. LVIII, № 1 (1974).

^{*} В настоящий статье использована литература, цитированная (2.3)

LX 1975

УДК 550.343.6

СЕИСМОЛОГИЯ

Д. И. Сихарулидзе, А. Х. Баграмян, Б. Ц. Еремян

Изучение строения земной коры дифференциальным методом групповых скоростей поверхностных волн

(Представлено академиком АН Армянской ССР А. Г. Пазаровым 28/XI 1974)

Значение групповых скоростей, соответствующих одним и тем же периодам поверхностных воли, формировавшихся в одном и том же слое, зарегистрированных на разных эпицентральных расстояниях Δ_1 и Δ_2 , остается постоянной величиной и

$$\Delta = \frac{\Delta_1}{t_1} = \frac{\Delta_2}{t_2} = \frac{\Delta_2 - \Delta_1}{t_2 - t_1} \ .$$

Если на трассе распространения воли имеются больше одной в тектоническом отношении областей, то для изучения строения их необходимо иметь данные о локальных групповых скоростях, соответствующих этим областям. Например, если поверхностными волнами пересекаются две такие а и b зоны с различным строением земной коры, то имея эпицентры землетрясений в начале и в конце a зоны, а в зоне b сейсмическую станцию, локальную групповую скорость в зоне a можно вычислить по формуле

$$\frac{k\Delta}{v_a} + \frac{(1+k)\Delta}{v_b} = \frac{\Delta}{v} t(T_i),$$

где v_a и v_b —групповые скорости поверхностных воли в зонах a и b соответственно; k — отношение длины участка трассы, проходящей через зону a, к полному эпицентральному расстоянию — Δ . Перестановка эпицентров землетрясений с сейсмическими станциями не меняет методику определения локальной групповой скорости.

Строение земной коры на трассах распространения воли: Филиппины, Тайвань, Гималан, Тибет, Памир, Тянь-Шань, Средняя Азия, Кавказ сильно варьируется.

Для высокогорных систем (Гималан, Тибет, Памир, Тянь-Шань), мощность земной коры большая (1,2), чем в остальных участках трассы распространения воли. Нами, по вышеприведенной методике, опреде-

ляется мощность земной коры в области расположения выше указанных гориых массивов. С этой целью исследована дисперсия групповых скоростей воли наблюденных при землетрясениях: Филиппины, Тайвань, Гималаи, Тибет, Памир, Тянь-Шань, на сейсмических станциях Кавказа. Хорошие записи поверхностных воли от землетрясений восточной и западной части территории Тибета и Гималаев дали возможность успешного применения дифференциального метода определения групповых скоростей поверхностных воли внутри этого региона. Подисперсии групповых скоростей мощность земной коры на трассе распространения воли: Памир, Тянь-Шань—Кавказ, получается порядка 43—45 км (рис. 1, 2). Следует отметить, что наблюденные периоды

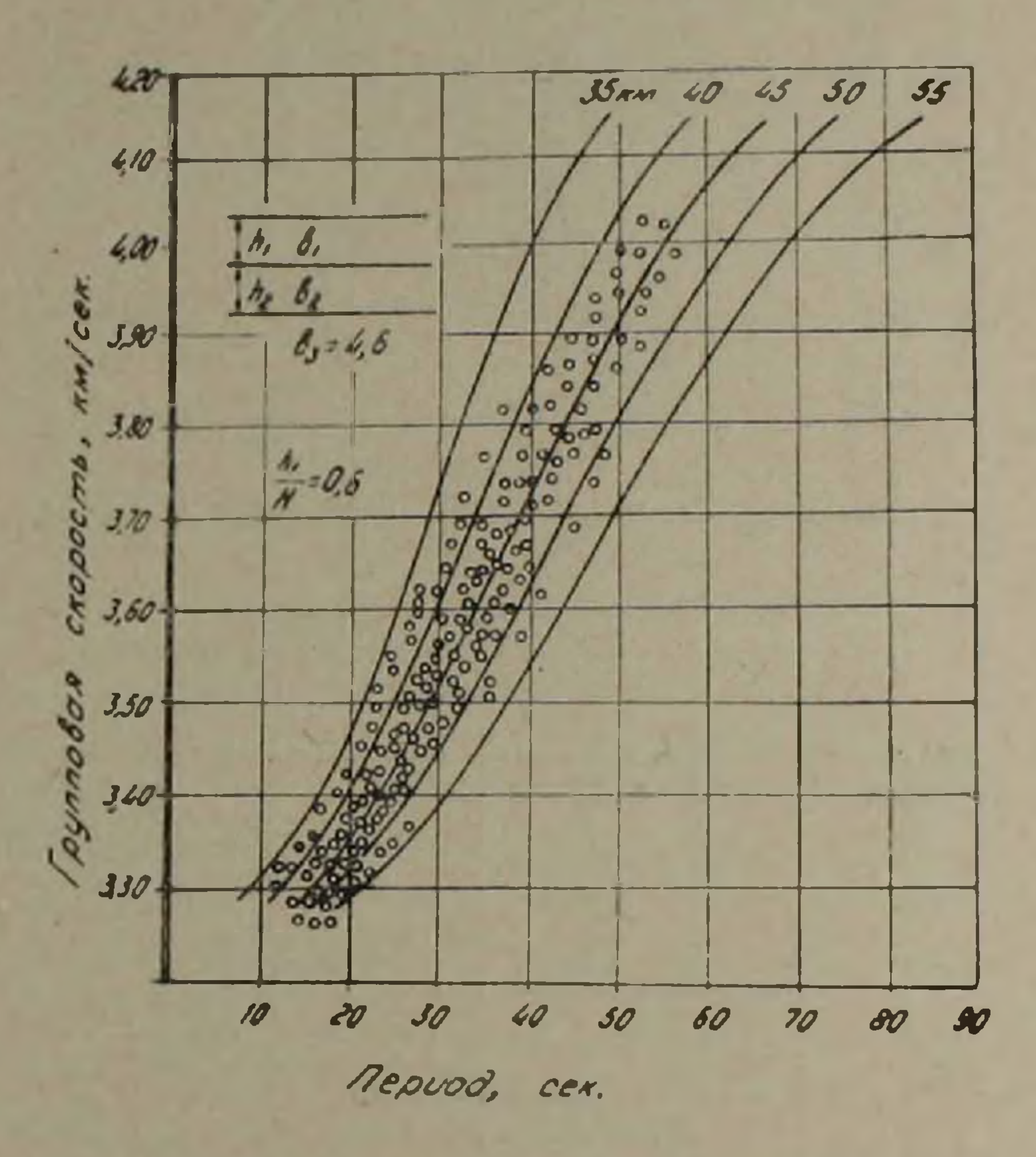


Рис. 1. Дисперсия групповых скоростей воли Лява междуэпицентральной зоной Памир—Тянь-Шань и Кавказом

поверхностных волн при землетрясениях в западной части Тибета, Памира, Тянь-Шаня у обоих типов воли ограничены короткими периодами по сравнению с наблюденными периодами воля восточной стороны. По этой причине не было возможности получить полную картину наблюденной дисперсии групповых скоростей. Как и предполагалось, значения групповых скоростей для этого высокогорного региона оказались наименьшими по сравнению с другими регионами исследуемой

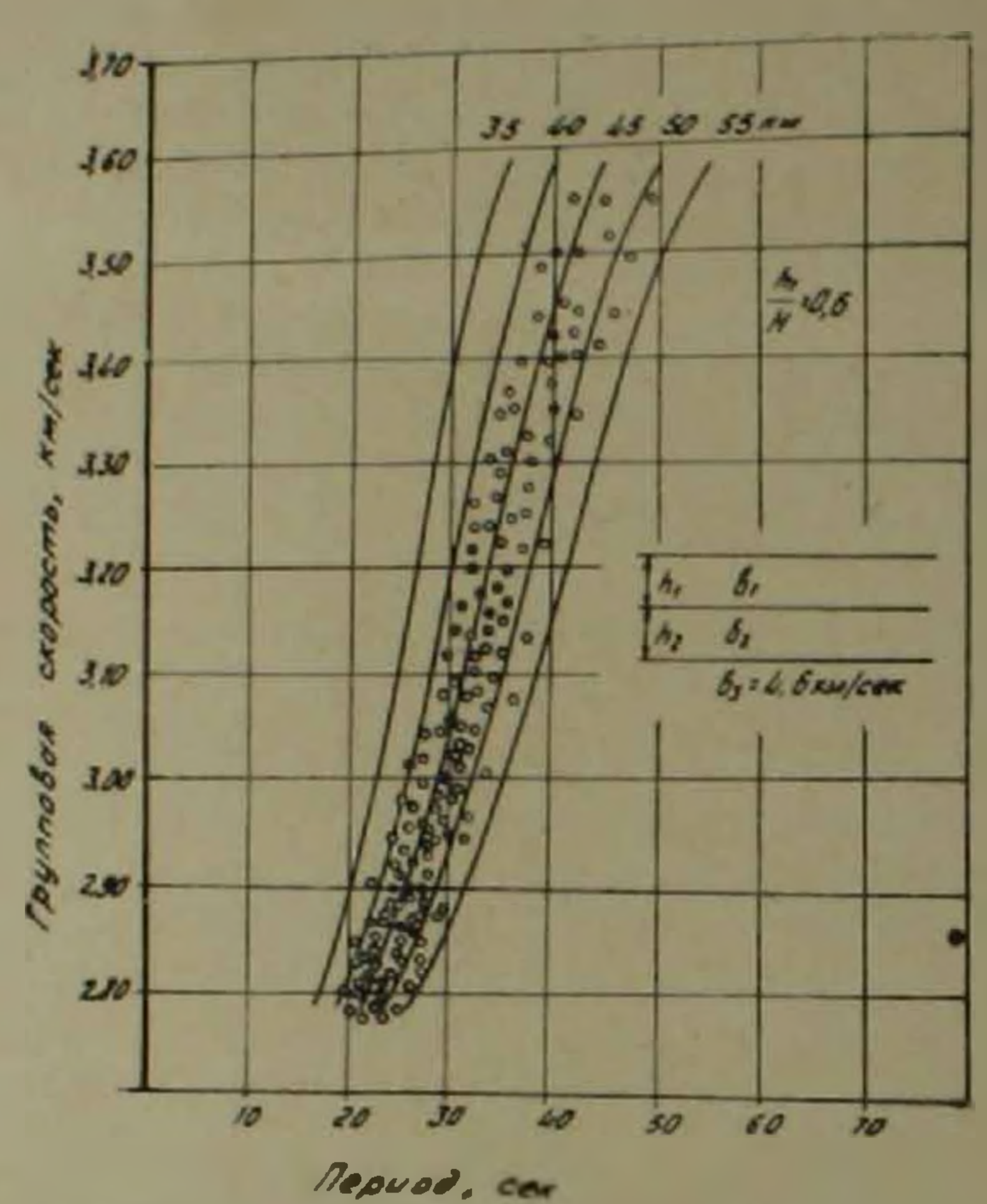


Рис 2 Дисперсия групповых скоростей поли Релея между эпицентральной коной Памир—Тянь Шань и Кавказом

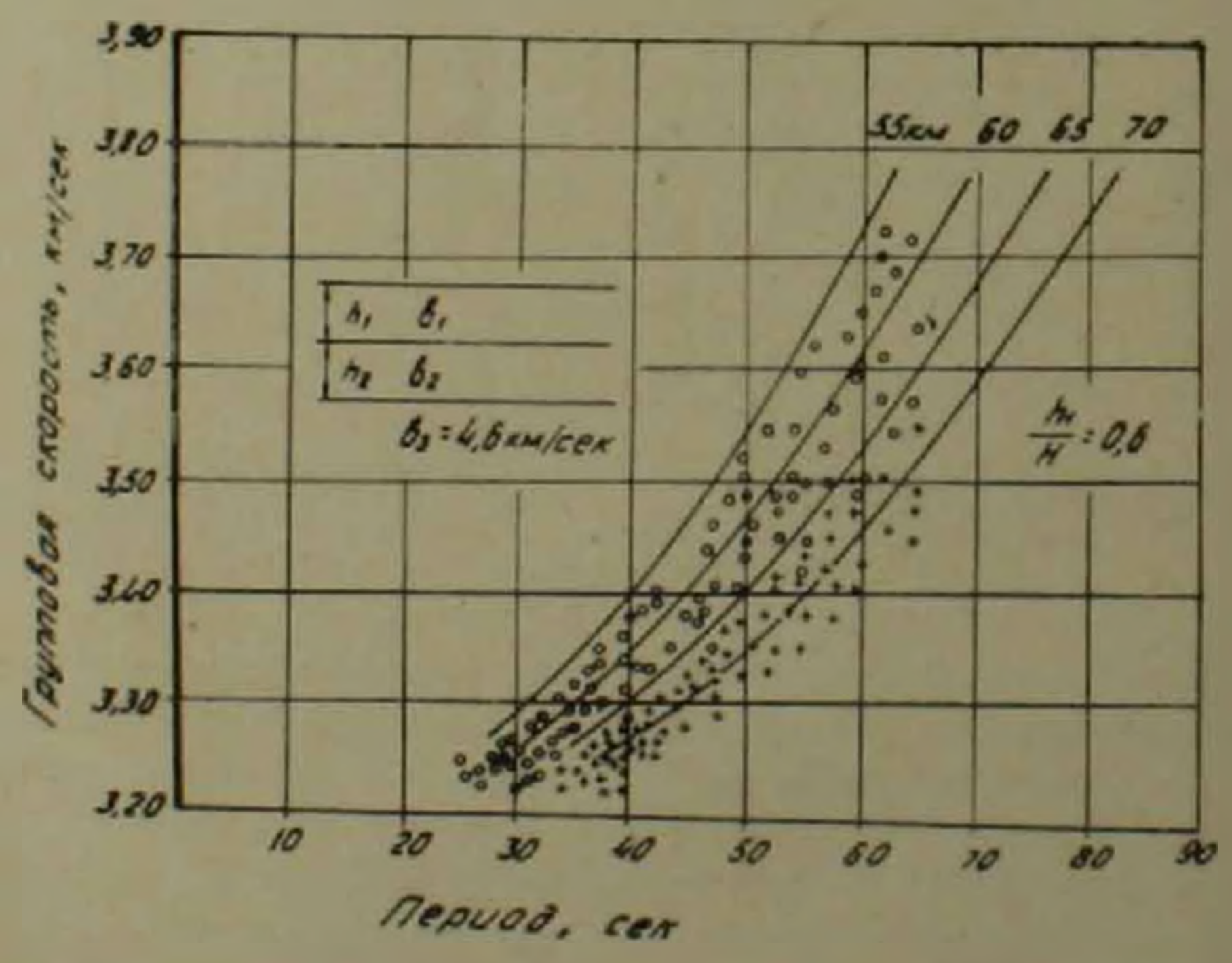


Рис. 3. Дисперсии группавых скоростей поли Липи между эпицентральными зонями;

Памир. Тянь Шань—Тибет, Гималан Памир. Тянь Шань—Гийнаны, Филлиппины

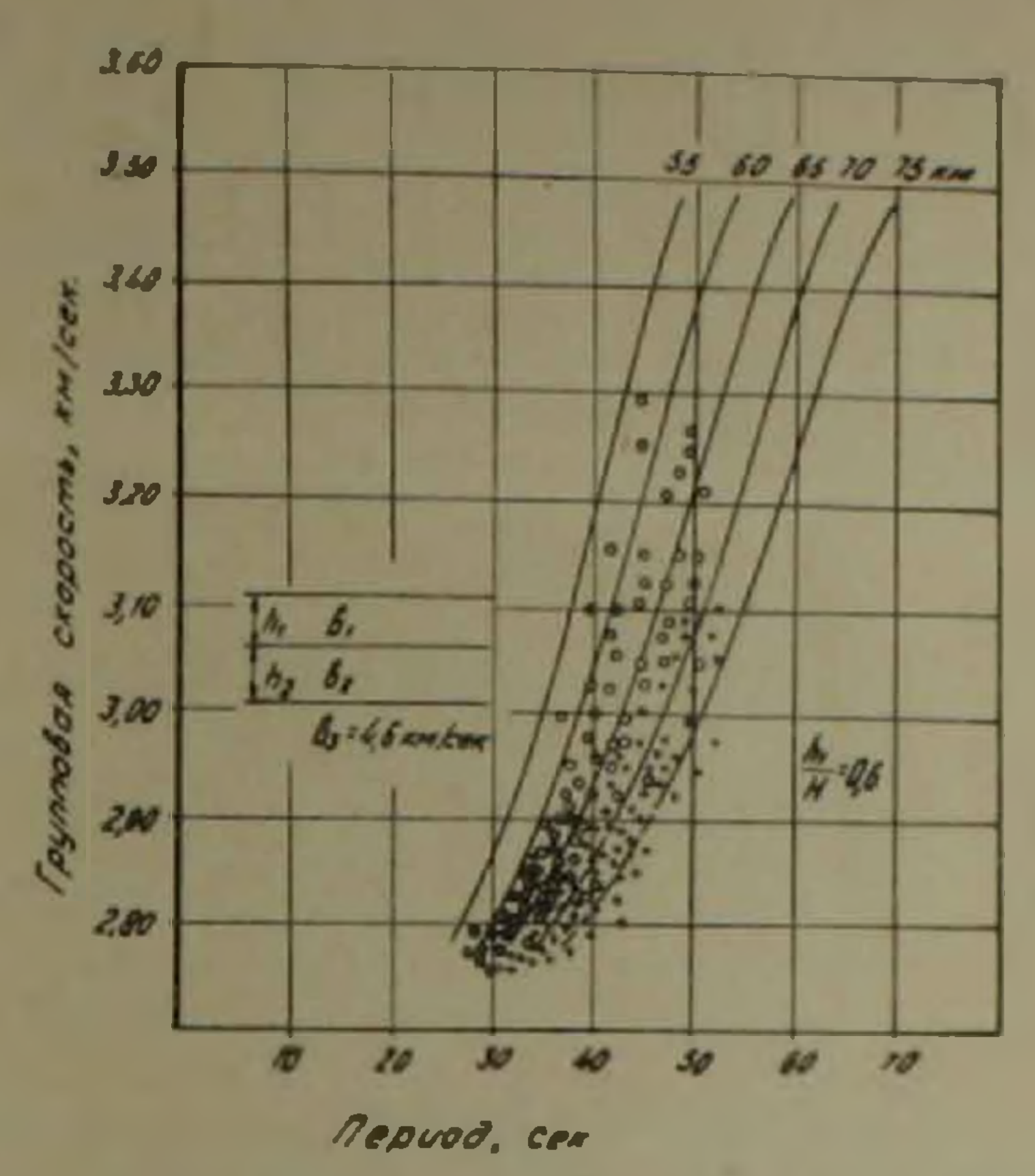


Рис 4. Дисперсия групповых скоростей воли Релея между эпицентральными зонами:

Памир, Тинь-Шань—Тибет, Гкмалан, Памир, Тинь-Шань—Тайвань, Фыллиппинк

территории. Это указывает на большую мощность земной коры этого высокогорного региона Сопоставления экспериментальных данных дисперсий групповых скоростей с теоретическими даются на рис 3, 4

Мощность земной коры (рис. 3, 4) между эпицентральными зонами Памир, Тянь-Шань, Тибет, Гималан и получается по обоим типам поверхностных воли—70 км.

Между эпицентральными зонами Памир, Тянь-Шань, Тайвань, Филиппины H=60-5 км, это указывает на то, что на востоке, за Тибетом, мощность коры должиа уменьшиться.

Ордена Трудового Краеного энамени Институт геофизики и инженерной сейсмологии Академии наук Армянской ССР

Դ Ի ՍԻԽԱՐՈՒԼԻՁԵ, Ա Խ ԲԱՂՐԱՄՅԱՆ Բ Ց. ԵՐԵՄՅԱՆ

ներակեղեի ուսումնասիշումը մակեռեութային ալիքների խմբային առագության դիֆեռենցիալ մեթոդով

Հանդիպում են մեծ արդերակերկի ուսումնասիրման ժամանակ Կորդիան գրեր անիջևերի րոշել նման շրջանների երկրակնղնի մզորությունը։ խմբային արագության դիֆնրենցիալ մեխոդր թույլ է տալիս մաջողությամբ

Նշված մենոդի օգտագործումը հնարավորունյուն է տվել որոշելու երկրա կեղևի հզորունյունը հետևյալ էպիկենտրոնային զոտիների՝ միջև՝ Պամիր Տյան-Շան, Կովկաս էք 43—45 կմ. Պամիր, Տյան-Շան, Տիրեքք, Հրմալայ Н=70 կմ։

Պաժիր, Տյան-Շան, Տայվան, Ֆիլիտիններ H = 60±5 կմ.

Միաժամանակ նշված տվյալները ցույց են տալիս, որ Տիբեβից դեպի արևելք երկրակեղեի Հղորությունը պետք է նվազի։

ЛИТЕРАТУРА — ЭГЦЧЦЪПЪРВПЪЪ

¹ Е Ф Саваренский Д И Сихарулидзе «Известня АН СССР», сер. геофия. № 6 (1959) ² Е Ф Саваренский, Б И Шечков. «Известня АН СССР», сер геофия. № 5, 1961.

LX 1975

0

VAK 553.2

ГЕОЛОГИЯ

В О. Пароникин

О металлогеническом значении цинково-свинцового отношения

(Представлено академиком АН Армянской ССР И. Г. Маганьяном 18/XI 1974)

В промышленных масштабах свинец и ципк проявляются почти во всех металлогенических провинциях и эпохах. В настоящее время как по запасам, так и по добыче этих металлов трудно отдать предночтение регнонам докембрийской, герцинской, киммерийской или альпийской консолидации.

Основой в сравнительных характеристиках служат крупные металлогенические зоны и провинции первого порядка, известные в настоящее время благодаря работам многих исследователей (1—1) и заимствованные нами по известным номенклатурам.

Средние значения отношений цинка и свинца для различных рудпых провинций СССР и зарубежных стран вычислены как по запасам
(главным образом достоверным) свинца и цинка, так и по их добыче, фиксированной в период за 1936—1970 гг., используя с этой
целью различные сводки по минеральным ресурсам (*.*).

Среднее значение стандартного отношения Zn Pb для всех генетических типов месторождений по их запасам и добыче составляет 1.4—1.85: 1. Полученное значение гораздо ниже весовых отношений шика и свинца в любом типе горных пород, что указывает на более сильную способность свинца накапливаться в продуктах постмагматической гидротермальной деятельности. В то же время отношение Zn: Pb в горных породах определенно падает от ультраосновных и основных типов к средним и кислым, за счет уменьшения концентраций цинка, но возрастания— свинца. С этими региональными геохимическими особенностями распределения свинца и цинка, как мы увидим ниже, хорошо координируются и их региональные металлогенические особенности, и в частности, их количественные соотношения в соответствующих рудных формациях.

Металлогеническое значение цинково свинцового отношения в нанболее полном виде можно проследить на примере рудных провинции СССР, краткие характеристики которых приведены в табл. 1

Металлогенические про- винини и зоны	Металлогеничес- кие эпохи		Обший характер магма- гизма и петрохимичес- кие серии порол	Тип провинций по тек- тоническим и магмати- ческим призначам	Приближенные плачения отношения отношения отношения отношения поред ворения формациях поред маниях поред	
N paa	Каледонская, гериниская	а. Спилито-кератофи- ровия б и в. Габбро-павсио-	Базальтондный; напест- ково-щелочные	Эвгеосниклиналь, феми-	3-4:1	>10:1
Сеперный Канказ (зона Передового хребта) Малый Капказ	Герипнская Киммерийская	гранитная а. Спилито-кератофи- ровая а. Анделитоная	Балальтоилиый; извест- ково-щелочные	Эвгеосниклипаль, феми- ческая	Ныспкое	>10:1
1- Алаверан-Кафанская зона	TO THE CALL	6. Плагнолипаритовая в. Плагногранитная и ди- оритовая	Анделитоный; известко- во-шелочные	Энгеосинканналь, саян- чески-фемическая	2-4:1	3-5:1
2. Севано-Амасийская	Альшийская (па- леогеновая)	а Анделитовая 6. Липаритовая в Габбро-диорит-грано- лиоритовая	Андезитоный; известко- во-щелочные	Элгеосниканнаяь, сали- чески-фемическая	1.5 : 1	2:1
3. Памбан-Зангезур- ская зона	Альпийская (олн- гоцен-миоцено- вая)	а Андезитопая и трахи- андезитовая в. Габбро-монцонит-	Гранитный, известково- шелочные, субщелочные, и шелочные	Миогеосинклиналь (пе- рехолная зона), саличес- кая	1:1	1:1
Срединя Азия	Гериннская	-сменитовая а Андезитован, липари- то-ланитовая и липари- товая				
		б и н. Субвулканическая гранитная с большой ролью субщелочных и	Гранитный; известково- щелочные, субщелоч- ные, шелочные	Миогеосинклиналь, са- лическая	0.8-1.011	0.9:1
Саланр	—герцинская	щелочных пород а. Кнарц-кератофировая		Эвгеосинклиналь, сали- чески-фемическая	4-5:1	3-5:1
Рудный Алтай	PA	а. Кварц-кератофиро- вая, андезито-дацитовая	Андезитовый; изнестково предочные	Энгеосинклиналь, сали-	1,5-3:1	2-3:1
Восточное Забайкалье	Киммерийская	б. Паагногранитная а Андезитовая, трахнан- асэнтовая габбро-монцонит-		чески-фемическая Многеосинклиналь, са- лическая	0.7-08:1	0.95 : 1
Дальневосточное При- мирые	Альпипская	Сиенитовая	Андезитовый; известноно- - щелочные		0.8-1.4:1	1.2 -2: ?

Колчеданоносный зеленокаменный пояс Урала представляет типичный пример фемической эвгеосинклипальной зоны. Формирование колчеданного оруденения во времени совпадает с этапом затухания геосинклинального вулканизма силура и девона и пространственно тяготеет к кремнекислым дифференциатам спилито-кератофировой формаши По вещественному составу скарново-медные, медноколчеданные и чедно-цинковые руды этой провинции сходны с таковыми докембрийеких месторождений Капады и Фенноскандинавского массива. Ничтожная роль свинца в рудах и медно-цинковая специализация пояса (отношение Zn: Cu-0,7:1) полностью соответствует распространенным здесь и ассоциирующим с орудененем базальтондными магматическими породами известково-щелочной серни с повышенной натриевой щелочностью. Полными уральскими аналогами являются колчеданные месторождения зоны Передового хребта на Северном Кавказе. Эта фемическая эвгеосинклипальная зона также характеризуется подчиненной ролью свинца и медно-цинковой специализацией.

По степени цинковости и свинцовости руд достаточно четко разграничиваются друг от друга структурно-металлогенические зоны Малого Кавказа (10). Металлогенические особенности Алаверди-Кафанской зоны определяются магматическими формациями мезозойского возраста (4). Эта эвгеосинклинальная (1) салически-фемическая зона характеризуется интенсивным проявлением начального вулканизма в целом андезитовой линии. К мезозойскому возрасту относятся также интрузивные породы плагногранитной и дноритовой формаций (11), а также субвулканические образования плагнолипаритовой формации. В рудах колчеданно-полиметаллической формации роль свинца значительна при среднем значении отношения Zn Pb—3—5:1. По совокупности рудно-магматических показателей эта зона отличается от наиболее фемических зон уральского типа и больше приближается к Рудному Алтаю или же внутренним (эвгеосинклинальным) зонам Тихоокеанского кольца.

Свинцово-цинковая минерализация Памбак-Зангезурской зоны контролируется более поздним верхинй эоцен-миоценовым циклом магматиама. Вулканические образования этого цикла представлены андезитовой и трахиандезитовой формациями. Интрузивный магматизм обладает повышенной щелочностью и вместе с щелочными и субщелочными составляющими относится к габбрэ-монцовит-сисинтовой формации (11) Здесь мы имеем пример контрастной калиевой зоны с магматизмом спалического профиля. Повышенная свинцовая специализация этой зоны (Zn Pb 1 1) полностью соответствует гранит-ному источнику оруденения.

Количественные соотношения отдельных магматических типов пород определяют Среднюю Азию как петрографическую провинцию с преобладающей ролью спалического - гранитного (1) магматизма Свинцово-цинковое оруденение контролируется поздиегерцинскими постбатолитовыми порфировыми интрузиями и данками гранитондов, с которыми сочетаются субщелочные и щелочные серии пород. Отнощение Zn Pb в скарновых и гидротермальных группах месторождений нилкое и в среднем составляет 0,9:1. По характеру магматизма, оруденения и соотношению Zn: Pb (0,95:1) киммерийская провинция Восточного Забайкалья близко-тождественна Средней Азии. В обоих случвях, по сравнению с Уралом, мы имеем контрастные металлогенические провинции многеосинклинального типа и повышенную свинцовую специализацию, соответствующую гранитному источнику оруденения

Салапр и Рудный Алтай представляют сходиме провинции с эвгеосинклинальным магматизмом (1) и металлогенией. Для Рудного Алтая характерна кварц-кератофировая (2), а также андезитовая и андезито-дацитовая формации (средний девон—нижний карбои). Интрузивные образования принадлежат к габбро-диабазовой, плагиогранит-порфировой и плагногранитной формациям. К этапу отмирания геосинклинали относитея формирование рудноалтайской серии малых интрузий кварцевых альбит-порфиров, кварцевых порфиров, гранитпорфиров и плагногранитов. Все вышеперечисленные магматические образования принадлежат к известково-щелочным сериям пород с повышенной натриевой щелочностью и рассматриваются как производные глубинного очага, средний состав которого приближается к андезиту (14). В отличие от магматизма эндезитовой ливии многеосинклинальных вон Кордильер и Анд, здесь в ассоциациях отсутствуют субщелочные и щелочные серии пород.

Руды Салапра и Рудного Алтая принадлежат, главным образом, к колчеданно-полиметаллической формации. Отношение Zn: Pb составляет 2—3:1 (Рудный Алтай) и 3—5:1 (Салапр), при отношении Zn: Cu—4—5:1 Таким образом, в последовательности Урал-Салапр Рудный Алтай в колчеданных рудах наблюдаются относительные падения концентрации меди, но возрастания—цинка и особенно свинца. Эти изменения в рудах четко координируются с качественными и количественными изменениями в ассоциирующих магматических формациях: в указанном направлении в спилито-кератофировой и габброплагногранитной группах заметно возрастает роль более кислых дифференциатов пород, смещающях магматизм в сторону андезитовой линии.

Приближенные средине іначения весовых отношений Na₂O : K₂O для наиболее важных в металлогеническом отношении (для свинца и шика) магматических пород различных рудных провинций приведены в таблице 1. Эти данные показывают на четкие корреляционные зависимости между степенью натриевой в калиевой щелочности пород с одной стороны и, степенью свинцовости я цинковости ассоципрующих с ним рудных месторождений—с другой. Причем, натриевым провиндиям соответствует шиковая специализация полиметаллических рудмежду тем как с возрастанием калиевой щелочности провинций увеличивается степень свинцовости руд Если исключить наиболее фемические эвгеосниклинальные зоны, то в остальных случаях можно заме-

тять любонытное тождество между весовыми отношениями Na O K O и Zn Pb в рудных провинциях. Свищовая специализация руд колневых провинций имеет прямую геохимическую основу, так как свинец преимущественно концентрируется в обогащенных калнем гранитопдах. В случае цинковон специализации натриевых провищий геохимическая интериретация лишь коспению указывает на базальтоидный характер источника обоих компонентов.

Вышеприведенный аналитический материал позволяет выделить следующие типы рудных провинции по характеру мэгматогенных месторожлений свинца и цинка и тектоно-магматическим признакам.

- 1. Эвгеосинклинальные фемические (Урад, зона Передового хребта на Северном Кавказе, ряд провинций Канадского щита и Фенноскандинавского массива), характеризующиеся медной и медноцинковой специализацией колчеданной формации при второстепенной роди свинца. Спилито-кератофировые и габбро-плагногранитные групны пород составляют суть магматизма этих зон.
- 2. Эвгеосинклипальные салически фемические (Алаверди-Кафанская зона Малого Кавказа, Саланр, Рудный Алтай, Япония и др.) с колчеданно-полиметаллической минерализацией Вместе с медью и цинком свинец здесь является главным рудообразующим номпонентом. Отношение Zn. Pb варьирует в пределах 2—5:1. Как в первом, так и во втором типах рудных провинций магматические породы относятся к известково-щелочным сериям с повышенной натриевой шелочностью (Na₂O: K₂O 1,5—4:1) при почти полном отсутствии субщелочных и щелочных пород.
- 3. Миотеосинканивальные фемически-салические (Северо-Американские Кордильеры, Южно-Американские Анды, Дальневосточное Приморые и др.) провинции по сравнению с предыдущим типом характеризуются возрастанием роли свинца (Zn. Pb—1,4—2:1) и надением относительных концентраций меди и цинка. Руды этих зон в ряде случаев отличаются также повышенной редкометальностью (Sn. Bi, Mo). Оруденение контролируется магматизмом андезитовой линии, в котором, в отличие от предыдущих типов, большую рольшерают щелочные породы (латит-монцонитовая формация по А. Д. Ирали (15)).
- 4. Многеосинклипальные салические (Средняя Азия. Восточное Забайкалье, Памбак-Зангезурская зона Мілого Кавказа и др.) с преобладающим гранитным матматизмом. Этот наиболее контрастный тип рудных провинций характеризуется повышенной свинцовой специализацией (Zn Pb—0,8-1.1) с подчиненной ролью меди Оруденение ассоцинрует с малыми порфировыми интрузиями и дайками гранитондов с повышенной калиевой щелочностью (Na2O K2O—0,7—1.1) и инроким развитием пород шелочной серии. В этом типе Рудных провинций интенсивно представлена также редкометальная (Мо, Sn, W) минерализация.

Определенным типом рудных провинций следует считать также

субилатформенные регионы с немагматогенными телетермальными стратифицированными месторождениями свища, цинка и меди.

Анализ материала позволяет также заключить, что в крупных металлогенических провинциях или же их составляющих частях-зонах характер оруденения свинца и цинка определяется не какими-анбо случайными, эпизодическими и локальными факторами, а суммарныч результатом разнообразных геологических процессов Этим объясия ется большая однородность крупных регнонов первого порядка по типам месторождений свинца и цинка, ассоциирующим магматическим формациям, соотношениям главных и второстепенных рудообразующи компонентов и т. д. Подобная металлогеническая однородность вряд ли возможна, если предполагать, что эти прежние геосинклинальные системы прошли полный цикл геологического развития, при котором от начальных и рашних этапов к субсеквентному или позднему (исключая конечный) происходит смена фемического (базальтондного) магматизма—сналическим или гранитным (2-5,7). В таком случае в провинциях следовало бы ожидать непрерывные серии формационных типов месторождений свинца и цинка. В действительности же, в большинстве случаев, устанавливается специализация зон или рудных провинции. отвечающая в одних случаях базальтоидному, в других-промежуточ ному или же гранитному магматизму, при слабом проявлении или же полном отсутствии остальных членов.

Институт геологических наук Академии наук Армянской ССР

զ. Հ. ՊԱՐՈՆԻԿՏԱՆ

Ֆինկ-կապաբի ճառաբեռության մետաղածնման նշանակության մասին

ЛИТЕРАТУРА — ЭРИЧИБИБРАВЬЪ

1 Г. Асланян, Региональная геология Армении, Авистрат, Ереван, 1958 г. Ю. А. Билибин Металлогенические провинции и металлогенические эпохи, Гостеол техиздат, М., 1955 г. Ю. А. Кузнецов, Гловиме типы магматических формаций, издатера», М., 1964 г. Н. Г. Магакови, Типы рудных провинций и рудных формация СССР, изд. «Непра», М. 1969 В. И. Смирнов, Проблемы эндогениой металлогения

складчатых областей (на металлогенической основе), иза «Недра» М., 1966 г Штилле. Побранные груды, изд «Мир». М., 1964 Геология, парагенезие и запасы парубежных месторождений свинца и цинка, изд 1131, М., 1951. Минеральные сред капиталистических стран, вып 1959, 1963, 1964, 1968, 1970 гг Гостеолтехиздат. Мло геологии СССР. Всесоюз, геол фонд, М. 18 В. О. Пароникам, «Пластия АН мрм ССР», сер. «Науки о Земле», т. XIX. № 1—2. (1966) 11. 1. Габриелия, Г. П. вобосарян и пр. «Известия АН Арм ССР», сер. «Науки о Земле», т. XXI, № 1—2. (1968) 12 К. Л. Бабаев. «Узб. геол журпал», № 4. (1963), 13 Л. Н. Овчиницкая В. Д. ваганов, «Геология рудных месторождений», т. XV, № 6. (1973) 14 Л. Ф. Ивинкии, Магматизм, метаморфизм, металлогения Урала, тр. 1. Уральск петр совещ Свердновск, 1963. 15 Л. Д. Ирдли, тр. XXI сессии МГК, вып. 11, Тектоника и петрография, маха ИЛ, М., 1963.

УДК 551 24 241 (550.83 016)

TEKTOHHKA

А. Р. Арутюнин

О геологической природе геофизической информации, полученной в связи с изучением глубинного строения Араратской впадины и прилегающих районов

(Представлено чл корр. АН Армянской ССР А А Габриеляном 30 X 1971)

В последние годы при производстве геологоразведочных и геофизических работ на нефть и газ мы предполагали наличие в пределах Араратской впадины промежуточного фундамента», принятого сейс моразведочными исследованиями (КМПВ, станция «Земля») за поверхность метаморфического комплекса зопалеозоя. Проведенная начи интерпретация материалов показывает, что на значительной части рас сматриваемой территории последняя отождествляется с поверхностью пород южного офиолитового пояса Армении и палеозоя (рис. 1—3).

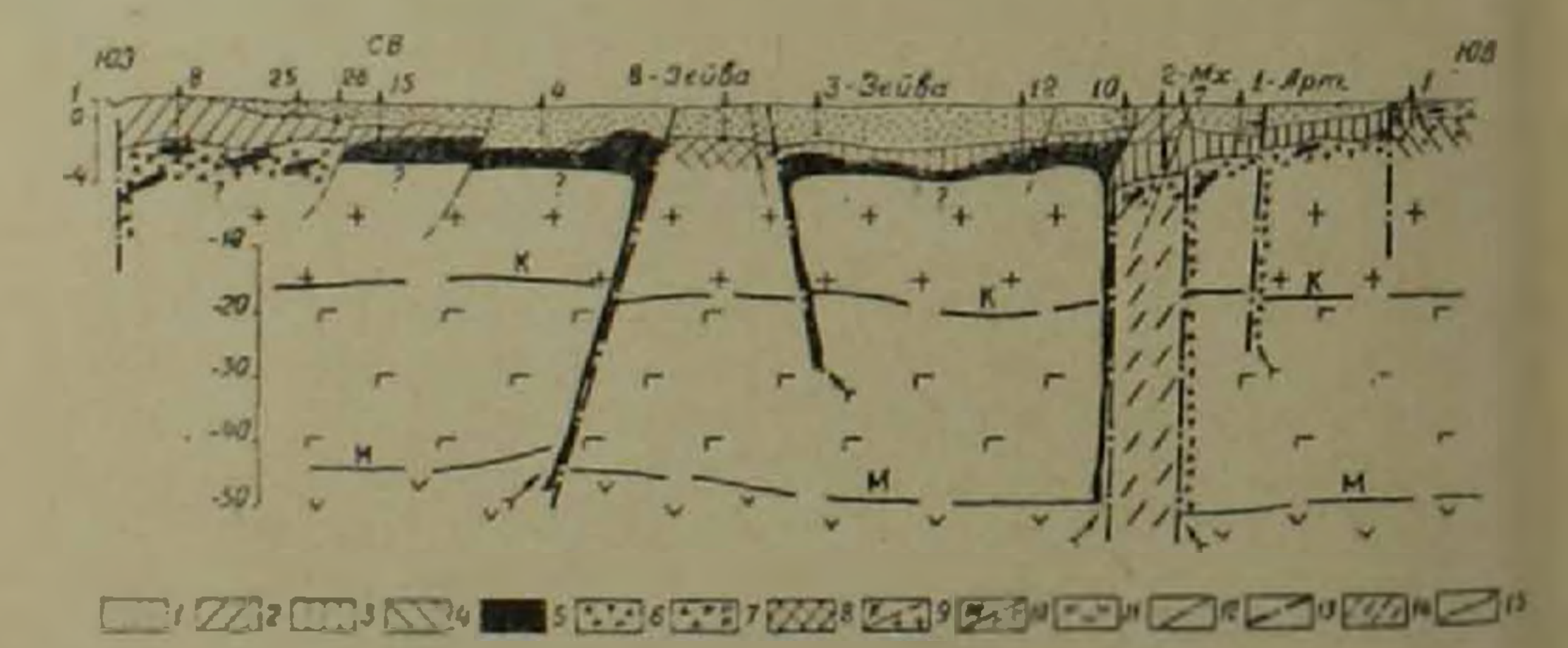


Рис. 1 Разрез земной коры по профилю Кармрашей— Арарат (по данным бурення, ст «Земля», КМПВ, МПОВ, МРНП: Освдочно-вулканогенные комплексы: 1—миоцен-четвертичный; 2—эоцен-олигоценовый; 3—палео цен-меловой; 4—мезо юбский пялеозойский. Офиолитовам серия: 5—габ-бро диабазовый комплекс. Метасоматиты с телами габбро, димовлов, спилитов, серпентанитов, пряуроченные к отложениям; 6—эоцена; 7—верхнего мела; 8—моцалеозойский фундамент; 9—понеряность Конрада, «гранитими» слой; 10—поверхность Мохо, «базальтовый» слой; 11—верхням Маштия: 12—техтонические парушения по данным бурения и МРНП; 13—глубниные разломы по данным ст «Земля», КМПВ, МПОВ и бурения. 14—зона отсутствия обысна в земной коре; 15—стили пропанная поверхность офнолитовой с рик и палеозов, отождествляемая с фундаментом

причина чего заключается в близости плотностей и граничных скоростей указанных образовании 2,66 2,72 г/см³ и 6- 6,2 км/сек Поверхность зопалеозоя фиксируется, между тем, только в тех районах, гле породы офнолитовой серии и отложения палеозоя отсутствуют или имеют невольшие мощности

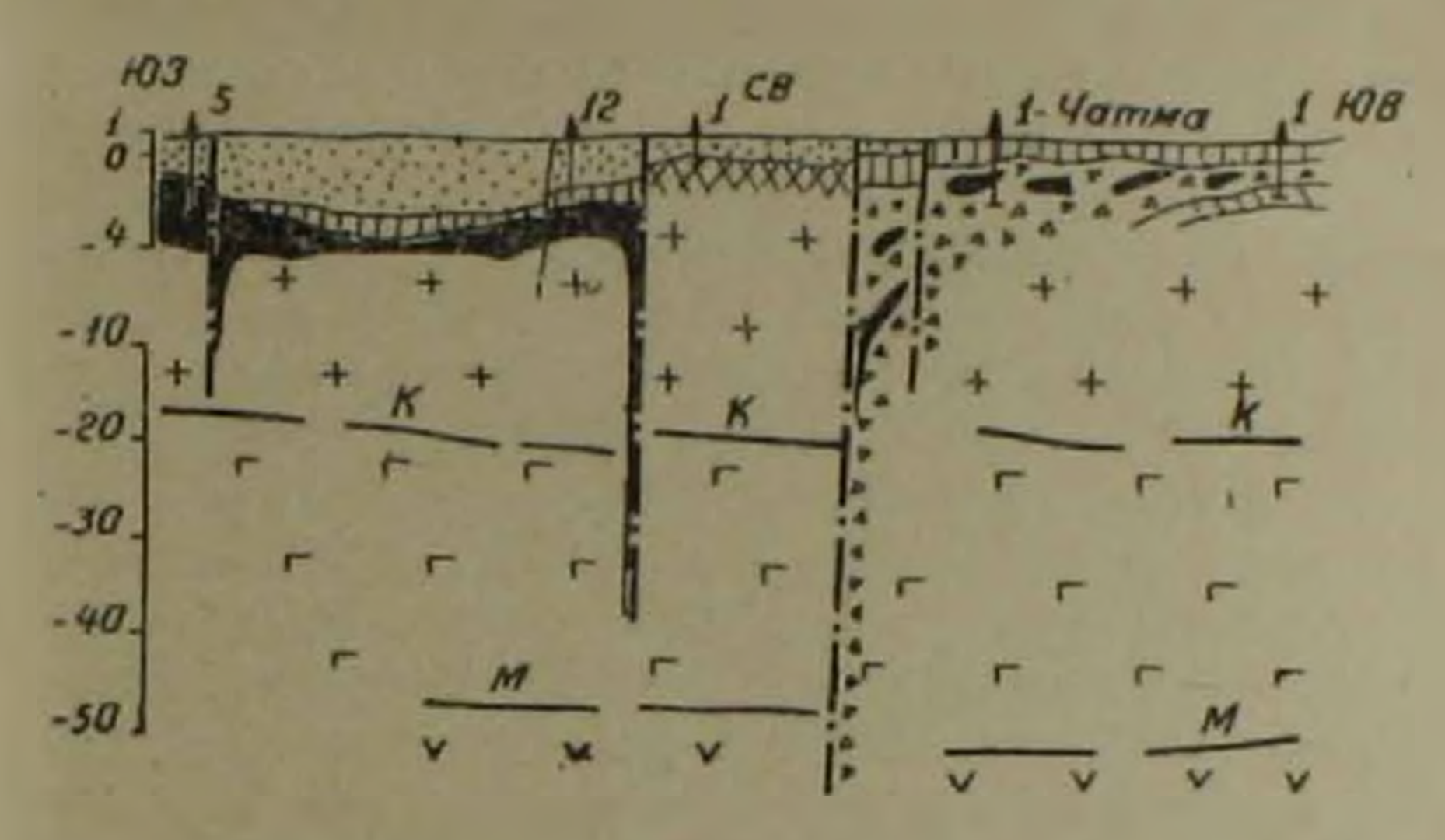


Рис. 2 Разрез земной коры по профилю Маркара—Тазагюх—Карабахлар. Условные обозначения см. на рис. 1.

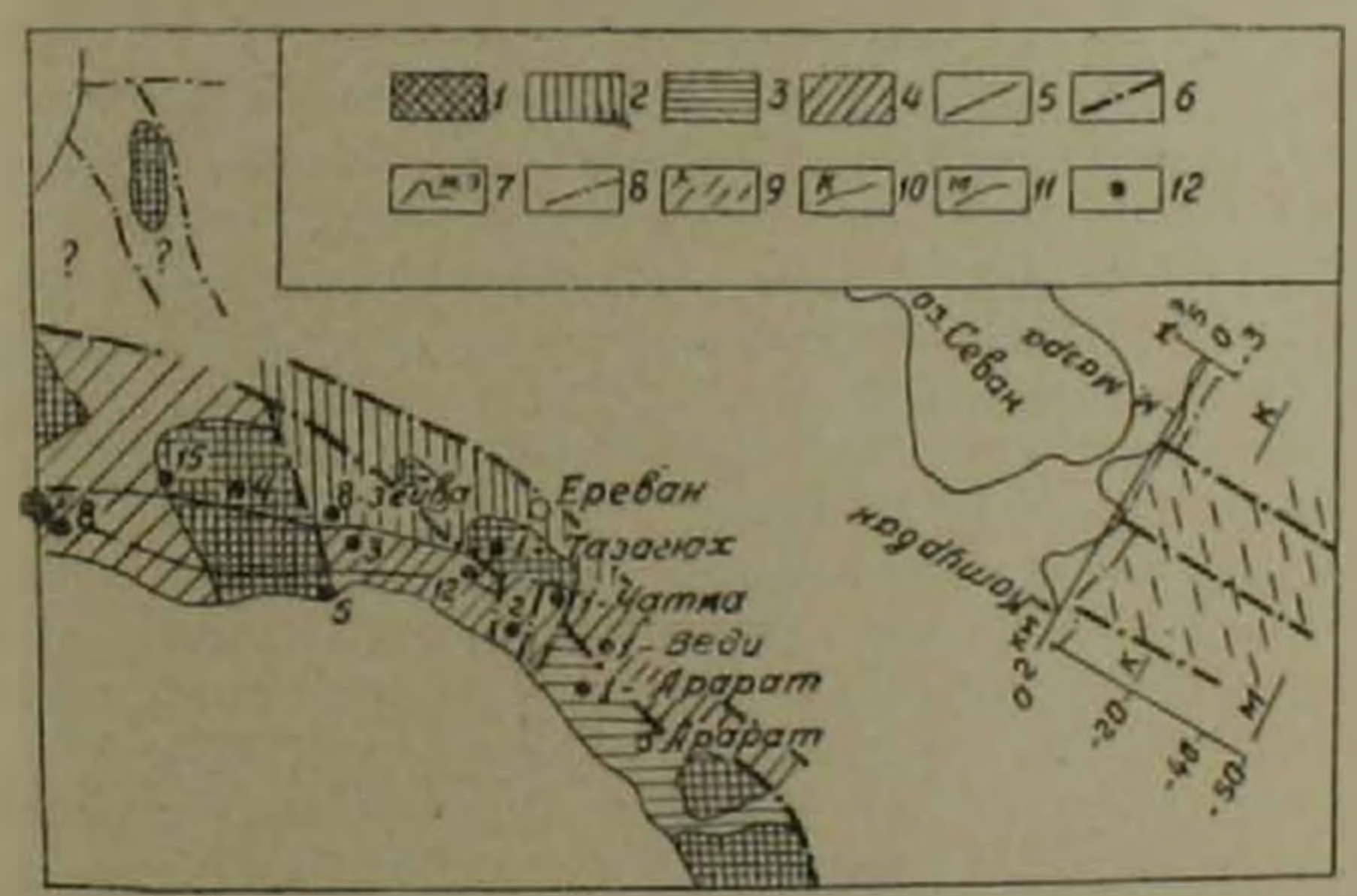


Рис 3 Схема геологической интерпретации гравитационного поля и главиейших разломов Араратской впадины. Разрез темной коры по профилю ст. «Земля» Котуриан-Джанахмел 1—локальные гравитационные максимумы. Глубинные поверхности, отображающиеся на геофизических чатеривлях; 2—зопалеозон, 3—палеозон; 4—офиолитовой серии; 5—тектонические парушения; 6 глубинные разломы, установленные бурсинем и гейсморазнешкой (Земля», КМПВ, МПОВ, МРПП) На разреже; 7—кривая магнитного поля; 8—поверхность предполагаемой офиолитовом стрии, обозначающая на профиле «Земля» кровлю фундамента; 9—зопа отсутствия обменов в земной коре Поверхности. 10—копрала; 11—мохо, 12—спиращим глубокого бурсиня

Общензвестна различная трактовка природы и условии образова, ния офиолитовых серий (мелаижа), чему посвящена общирная литература (1~3 и др.).

Комплексная обработка данных глубокого бурения и сейсморых ведки (КМПВ, ст. «Земля», МПОВ) дает основание полагать, что офиолиты выведены и размещены в осадочном чехле и земной коре глубинными разломами близвертикальной ориентации, проникающими нередко в «базальтовый» слой и верхнюю мантию (рис. 1, 2).

Исследования образований офиолитовой серии района указываю; на присутствие в ее составе двух преобладающих комплексов. К первому относятся преимущественно днабазы, меньше габбро, спиляты, вариолиты, эссекситы и др., а ко второму-тектонически переработанные метасоматиты псевдобрекчиевой текстуры, приуроченные к разновозрастным материнским терригенно-карбонатным толіцам и вмещаю щие тела серпентинитов и габбро-диабазов. Состав и положение ука занных комплексов вполне согласуются с разрезами верхних частей офиолитовых серии многих областей земли (2 3). Эти образования, под робно изученные в Вединском районе рядом исследователей (4 и др.). широко представлены к западу-северо-запду от него в скважинах глубокого бурения. Детальная документация керна и просмотр обширного петрографо-минералогического материала (более 200 шлифов, минералогических и химических анализов) указывают на интенсивное развитие в них, и особенно в породах второго комплекса. процессов серпентинизации, карбонатизации, ожелезнения, амфиболитизации, альбитизации, эпидотизации. Во вмещающих породах отмечаются яшмы карбонаты радиоляриты и др. Образования первого комплекса подсти лают терригенно-карбонатные разрезы палеоцена-дания (12-Неджрлу, 1-Чатма), эоцена (15-Кармрашен) и неогена (5-Маркара, 4-Лукашин). а второй комплекс размещен в палеонтологически датированных отложениях верхнего мела (1-Веди, 1-Арарат), зоцена (8-Ахурян) и прелположительно перми (скв. 1-Арарат).

Приведенный стратиграфический диапазон офиолитов указывает на перманентность процесса, связанного с транспортировкой из недр соответствующего матернала посредством глубинных разломов

Площади относительно неглубокого их залегания (1500—2500 ч) на значительных мощностей оконтуриваются () локальными гравитационными максимумами (Кармрашенский, Маркаринский, Баграванский, Арагацский), часто интерпретируемыми в качестве выступов эопалеовоя.

В смежных гравиминимумах мощность осадочного чехла наращивается, однако в последних преломляющим горизонтом (КМПВ), как установлено, картируется преимущественно поверхность именно этих образований, залегающая на глубинах от 3 до 5 км. Паличие под шим осадочного чехла мезозоя и палеозоя можно в настоящее время только предполагать

Материалы аэромагинтных съемок (при высоте залстов 4000 м) серьезно дополняют данные сейсморазведки и гравики К районам развития в земной коре существенных масс офиолитов приурочены положительные аэромагнитные аномалии, в то время как поднятия фундамента (Арзаканское, Тазагюхское) отмечаются отрицательными магнитными полями. Это позволяет с большей уверенностью интерпретировать данные сейсморазведки и гравики, а также разграничить районы развития офиолитов от участков погребенных осадочных толщ налеозоя, где первые отсутствуют.

В дополнение к воззрениям А. А. Габриеляна и Л. К. Татевосяч (*) отметим, что материалы аэромагиитиой съемки и профиля станции «Земля» Кармрашен-Джанахмед наводят также на мысль о возможной глубинной связи северной и южной офнолитовых серий Армении (рис. 3). Подавляющая часть аэромагиитных аномалий, связанных с севанским офнолитовым поясом, смещена к юго-западу, в согласни с этим, по материалам станции «Земля», в этом же направлении отмечена весьма значительная по глубине и ширине зона отсутствия сейсмических обменов в земной коре, связанная, как мы предполагаем, с развитием здесь мощнейших серий офиолитов, кровля которых приближена к дневной поверхности. Не исключено, однако, что это самостоятельные сложные крутопадающие, приуроченные к глубинным разломам, зоны офиолитов, расположенные между сс. Мец Мазра и Котурван (рис. 3).

Резюмируя, отметим, что офполнтовая серия оказывает существенное воздействие на геофизическую информацию, рациональная интерпретация которой весьма необходима для понимания глубинного строения герритории и закономерностей размещения в ней полезных ископаемых. Более того, совместная интерпретация геологических, гравиматичных и сейсморазведочных материалов позволит выявить новые районы погребенных образований офиолитовой серии.

Управление геологии Совета Министров Армянской ССР

U. IF ZUPHEPSHEESUE

Աստրատյան նկվածքում և նրա ճառակից չրջաններում ստացված երկրաֆիզիկական ինֆորմացիայի երկրաբանական բնույթի մասին

մայար գրատղակարիր ւիղեի դակրերը ուրմեւ արեսմայի ըսավագերբեր դակրերությեսն դիրչ տեղը երժուրվուղ բը Հատաքրսողություրիսումակար ուսուղբառինությես դիրչ տեղը երժուրվուղ բը Հատաքրսշահվագուղ նույն է անվագ՝ սե քրանատվար չկվագեսւը կաստեմագ որ

Սրկրի կեղևում ուլաբահիմքային ապարների ներդրումը կապվում է

խորքային խզվածքների հետո

ЛИТЕРАТУРА— ТРИЧИТИТЕТ

¹ А. Л. Кишпер, «Геотектоника», № 5 - 6, 1971 - Международный симпознум «Офиолиты в земной коре», «Геотектоника», № 6, 1973. ¹ 1 С. Перфилев, С. В. 1976, «Геотектоника», № 3, 1973. ¹ К. 1. Мартиян, Геология СССР, т. ХІЛІ, над. «Під ра», М. 1970. ² Р. А. Аракелян, Ш. С. Осанисян, «Півестия АН АрмССР», науки Земле, № 2 (1969) ⁴ А. 1 Габриелян, Л. К. Татевосян, «Павестия АН АрмССР», науки в Земле, № 1—2, (1966).

УДК 577. 17

LX

ВИОХИМИЯ

Член-корреспондент АН Армянской ССР А. А. Галоян, С. С. Алексанян Ж. Г. Абелян, Н. А. Бархударян

Изменение активности фосфорилазы в сердце и других органах под влиянием нейрогормона «С» и соматостатина

(Представлено 16/VI 1971)

При изучении механизма действия нейрогормона «С» на сердца нами было обнаружено, что он усиливает с одной стороны образование лактата, а с другой утилизацию пирувата (1). Характерные изменения содержания пирувата и лактата, свидетельствуют об усилении гликолитических процессов в сердце. Представлял интерес изучение активности фосфорилазы в сердце и других органах под влиянием нейрогормона «С» и соматостатина.

Было показано (2), что один из гипоталамических факторов—соматостатии (фактор, ингибирующий образование соматотропии освобождающего фактора гипоталамуса) при предварительном введения кошкам вызывает полное блокирование коронарорасширяющего действия раздражения периферического конца блуждающего нерва под диафрагмой (3).

Эти данные наводили на мысль, что соматостатии, по-видимому, синмает эффект действия нейрогормонов «К» и «С», высвобождающихся при раздражении блуждающего перва. Поэтому представляло интерес сравнить действие нейрогормона «С» и соматостатина на

фосфорилазную активность сердечной мышцы.

Опыты ставили на белых крысах весом 120—150 г обоего пола. Нейрогормон «С» вводили внутривенно из расчета 2,0 мкг на целое животное. Эта доза соответствует количеству, вызывающему характерные сдвиги содержания лактага и инрувата в сердечной мышце при его внутривенном введении крысам (1). Соматостатии вводили внутривенно из расчета 1,0 мкг на целое животное. Для выяснения динамиклизменения фосфорилалной активности в различных органах после внутривенного введения соматостатина, определяли активность фосфорилалы в молгу, печени, почках и сердце через 15, 30, 60, 90 минут после внутривенного введения соматостатина.

Жипотных быстро декапитировали, извлекали органы, очищаля

холодной дистиллированной водой. Ткань измельчали ножинцами до получения однородной кашицы, для каждого опыта брали по 0,5 г. Активность фосфорилазы определяли по известному методу (1-4)

Tab. tuka 1

Определение фосфорилазной активности в сердце, печени, поперечиополосатых мышцах крыс (мкг/г свежей ткапи) под илиянием нейрогормона «С»

Исследу- емые органы	Сердце		Пе	чень	Мышца		
	контроль	олыт	контроль	олыт	контроль	OUPL	
	354 ± 18.82 (16)	723 ± 27.71 P<0.001 (18)	363 ± 36.23	450 = 14.77 P < 0.05 (16)	262 ± 19.22 (10)	321 ± 16.16 19 > 0.05 (14)	

Как видно из табл. 1 и 2 активность фосфорилазы в печени, сердимыще, мозгу и почках составляет в норме 363, 354, 262, 409, 559 мм на грамм свежей ткани соответственно. Через 30 мин после внутривенного введения нейрогормона «С» активность фосфорилазы в печен, сердце и мышце составляет 450, 723 и 321 мкг на грамм ткани соответственно. Эти данные показывают, что активность в сердечной мышке увеличивается в 2 раза, в других органах также отмечается значительное повышение активности фермента Заметно, что нейрогормон «С» преимущественно действует на сердце.

В табл. 2 приведены данные влияния соматостатина на активность фосфорилазы в мозгу, печени, сердце и почках. Петрудно заметить, что соматостатии почти не оказывает влияния на активность фосфорилци в мозгу и почках.

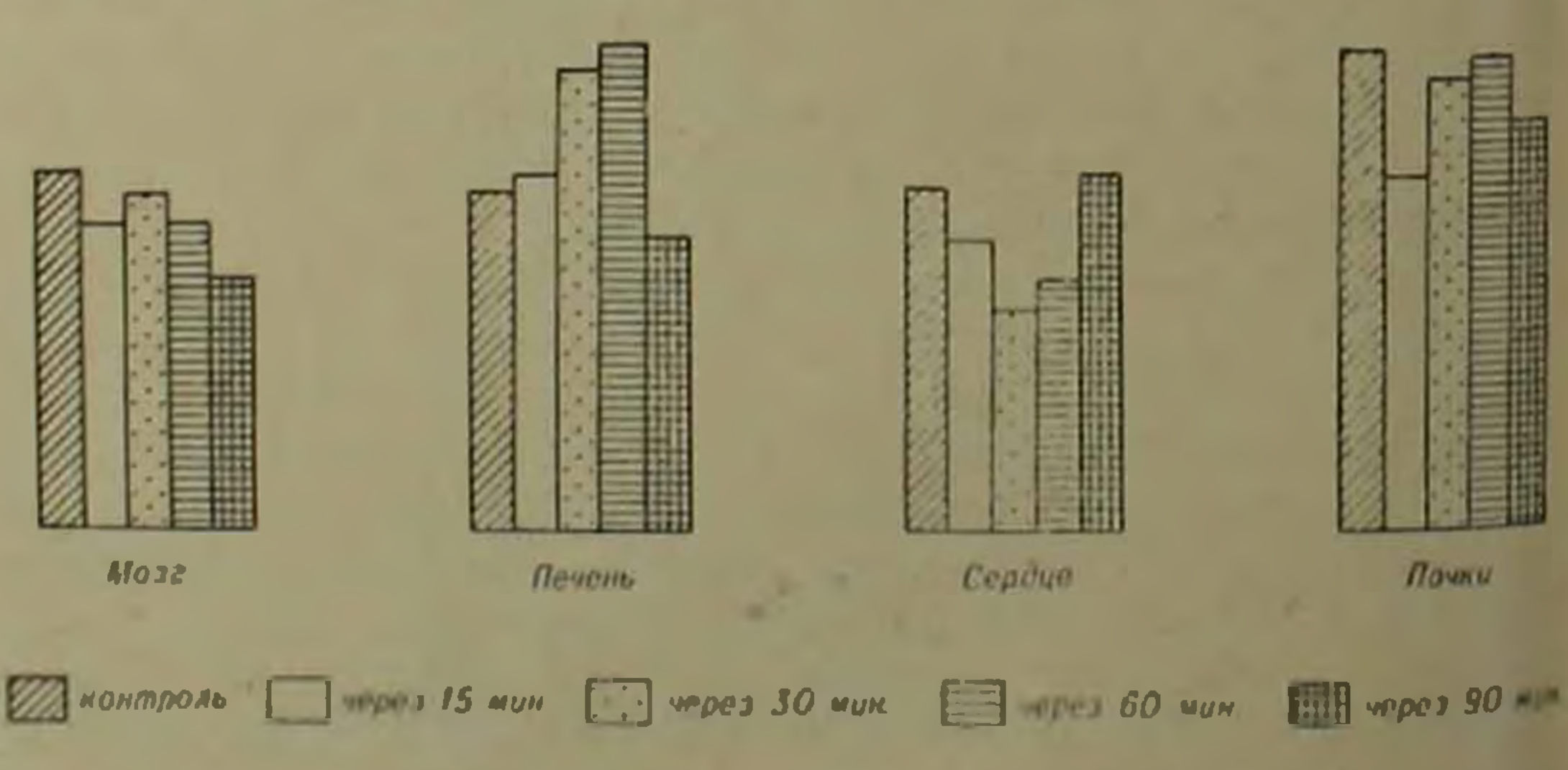


Рис. 1. Динамика изменения фосфорилазной активности в различных органах последания соматостатина

В печени заметно повышение активности фосфорилазы, в то время как в сердце резко снижается активность фосфорилазы (399 в норме в 251 мкг на 1 г. свежей ткани после введения соматостатина).

В следующей серии опытов мы изучали динамику активности фермента под влиянием соматостатина (рис. 1).

Как видно из таблицы в мозгу постепенно уменьшается фосфорнзазная активность до 90 или

Таблица 2
Влияние соматостатина на активность фосфорилазы в мозгу, сердце, печени и
почках крыс (мкг/г свежей ткани) под влиянием соматостатина

Mo)3r 	Пече	116	Серди	le	Поч	4ka
кантраль	OHLI	контроль	опыт	контроль	опыт	контроль	опыт
409 ± 9.3	104+32.6	386十93.7	531+66.8	399+51.1	251+40.3	559+49.8	527+43.6
(8)	(11)	(9)	(13)	(9)	(13)	(8)	(11)
P =	0.5	P<	0.001	P <	0.001	P	0.5

В сердечной мышце через 30—60 мин после введения соматостатина резко уменьшается активность, только через 90 мин. восстанавливается к норме.

В почках через 60 мин. активность приближается к норме. В печени до 60 мин активность постепенно повышается, отмечается некоторое понижение активности через 90 мин.

Результаты наших исследований свидетельствуют о том, что соматостатин вероятно путем пигибирования гликолитических процессов в сердце, снимает эффект коронарорасширяющих гормонов.

Институт биохимии Академии наук Армянской ССР

Հայկական ՍՍՀ ԳԱ թղթակից-անդամ Ա. Ա. ԳԱԼՈՑԱՆ, Ս. Ս. ԱԼԵՔՍԱՆՑԱՆ, .թ. Գ. ԱԲԵԼՑԱՆ, Ն. Ս. ԻԱՐԽՈՒԳԱՐՑԱՆ

Ուտում և այլ օւգաննեւում ֆոսֆուիլազայի ակտիվությունը նեյւոնումոն C-ի և սոմատոստատինի ազդեցության նեւքո

Սույն աշխատությամբ մեր առաջ խնդիր է դրված եղել ուսումնասիրելու ֆոսֆորիլադայի ակտիվության փոփոխումյունն ուղեղում, սրտում, լյարդում, մկաններում ինչպես նաև երիկամներում նեյրոհորմոն C-ի և սոմատոստատինի ակտինում ենրթո, ջանի որ սոմատոստատինը հանում է թափառող ներվի դրդոումից սովորաբար առաջացող պսակաձև անոթների լայնացումը, իսկ նեյրո հորմոն C-ն բերում է սրտում գլիկոլիզի ուժեղացման։

վությունը խիստ ընկեւվում էւ դեցության տակ ֆոսֆորիլազայի ակտիվությունը կրկնապատկվում է, մինչ, ոեռ սոմատոստատինի ներարկումից չևտո, ընդչակառակը, ֆնրմենտի ակտի. Հետազոտության արդյունքները պարղեցին, որ նեյրուորմոն է, մինչ,

վույն տվյալները վկայում են այն մասին, որ ինչպես սոմատոստատինի Նույնպես նեյրոշորմոն Հ-ի աղդեցուկյունն սրտի վրա Հավանաբար ռեայե Հայաստանան է ֆոսֆորիլագայի ակտիվուկյան փափոխման պատճառով ևս։

ЛИТЕРАТУРА — ЧРИЧИЪПЪРВЯНЪ

¹ А. А. Голоян, С. С. Алексанян, ДАН Арм. ССР, т. 58, № 3, (1974). ² А. А. Голоян, Р. А. Лоян и Р. А. Алексанян, Биол. журнал Армении, 6, 35(1974). ³ А. А. Голоян, Р. А. Алексанян и М. В. Оганян. ДАН Арм. ССР, 5, 297(1971). ⁴ Д. Л. Фердман, Е. ф. Сопин. Практик по биохимии, изд. «Сопет наука», 184, М., 1957. ⁶ Я. А. Турикулия, Биохимия, 13, 127 (1948). ⁴ О. Н. Lowey and J. А. Lopez, J. Biol. Chem., 162, 421 (1946).

2ЦВЧИЧИЪ ПП2 ЧРЅПРЕВПРЪЪВРР ИЧИТЕПРИЗЕ ДВЧПРВВЪВР ДОКЛАДЫ АКАДЕМИИ НАУК АРМЯНСКОЯ ССР

LX 1975

УДК 576 8 097 5 : 615 371

ВИОХИМИЯ

С Ш Саканян

Эндогенные атиингиоиторы поствакцинального антителогенеза

(Представлено вкадемиком АН Армянской ССР С. К. Карапетяном 23/Х 1974)

Известный факт тормозящего влияния иммунных сывороток на выработку поствакцинальных антител в прошлом объясияли блокадон вакцинального антигена антителами, содержащимися в этих сыворогках, и ослаблением антигенной активности вакцины, а по мнению других поствакцинальные антитела при определенном уровне титра сами становятся тормозящим фактором собственной продукции (1).

В наших исследованиях (4) было показано, что антителогенезингибирующее свойство бруцеллезной иммунной сыворотки не имеет никакой связи с ее антителами. Это было видно, во-первых, из того, что иммуниая сыворотка, полученная в более ранние сроки иммунизации и имеющая более высокий титр агглютининов, как правило, обладает более инзкой антителогенезугиетающей активностью, чем иммунная сыворотка, полученная в более поздние сроки с более низким уровнем тигра агглютининов. Во-вторых, в сыворотке иммунизированного оргавизма ингибирующее свойство сохраняется дольше, чем антитела. Отсутствие параллелизма между угасанием поствакцинального антителогенеза и исчезновением антителогенезподавляющей активности иммунные сыворотки указывает на независимость процессов биосинтеза антител и ингибиторов антителообразования и отрицает правомерность допущения, приписывающего антителам тормозящую роль в собственной продукции. Нам удалось в ряде исследований показать даже особенности влияния фармакологических препаратов на биосинтез как поствакцинальных антител, так и ингибиторов ангителогенеза ("). Эта данные приводят к убеждению, что в иммунном ответе организма отражаются две противоположные реакции с одной стороны бносинтез визител, а с другой, ингибиторов (депресантов) антителогенеза.

Ингибиторы антителогенеза, наподобие антител, накапливаются в сыворотке крови, что дало нам основание иммунсыворотку применять в качестве ингибиторов антителогенеза.

Руководствуясь теми же законами иммунного ответа, мы считали реальной возможностью образования в организме антинигибиторов

(антидепресантов) в ответ на введение иммунсыворотки, содержащей ингибиторы антителогенеза. Это допущение полностью оправдалось в экспериментах, результаты которых представлены в настоящем сообщении.

Под опыт брали 30 интактных половозрелых кроликов, весом 2,5—3 кг. разделенных на 5 групп.

Кроликов I группы подвергали иммунизации против бруцеллеза подкожным введением вакцины из штамма 19 в дозе 2,5 млрд микроб ных тел по оптическому стандарту. Спустя 30 дней иммунную сыворотку этих кроликов в дозе 1,0 мл/кг веса внутривенно, а вакцину подкожно вводили кроликам II группы, затем, соблюдая тот же интервал после вакцинации, иммунную сыворотку кроликов II группы и вакцину вводили кроликам III группы, иммунную сыворотку кроликов III группы п вакцину—кроликам IV, а иммунную сыворотку последних и вакцину—кроликам V группы.

По данным табл. 1 иммунная сыворотка кроликов I группы па 10-й день иммунизации резко подавляет у кроликов II группы образование поствакцинальных агглютининов. Иммунная сыворотка кроликов II группы к этому сроку тоже угнетает агглютининообразование у кроликов III группы, но слабее, чем иммунная сыворотка I группы. Явление торможения антителогенеза у кроликов IV группы, получавших иммунную сыворотку от кроликов III группы, оказывается недостоверным, а у кроликов V группы, получавших иммунную сыворотку от кроликов IV группы, вовсе не обнаруживается. На 20-й же день иммунизации торможение биосинтеза аптител наблюдается у кроликов всех групп, а на 30-й день только у кроликов III группы, получавших иммунную сыворотку от кроликов II группы.

Таблаца I Динамика выработки вгглютининов против бруцеллеза при последовательном введении иммунсывороток параллельно с вакцинов Р 0.05

			Дин опр	еде	ления титра	arra	от киннов
Серин одытов		лпы	10 – ที		20-A		30 — Ř
		Группы	M+m	P	M∓m	P	M-4-m
Контроль на	вакцину	1	1:457+1:275	O	1:1422 + 1:440	00	1 : 177 + 1 : 15
акцина — ммунсыво- отка от кроликов	I группы II группы III группы IV группы	II III IV V	1:114 + 1:64	7	1 : 73 + 1 : 32 1 355 + 1 : 328	2	1:233+1:484 1:30+1:132 1:123+1:524 1:128+1:634

Нивче говоря, биосинтез антинненбиторов по ходу иммунизации происходит волнообразно. Но не исключена возможность выравнивания волнообразности выработки антинисибиторов при более длительном последовательном переливании иммунных сывороток

Сопоставление и анализ данных показывают отсутствие коррелятявной связи между антинигибиторной активностью носледовательно
вереливаемых иммунных сывороток и уровнем титра агглютинивов в них.
Действительно, на 30-й день иммунизации, т. е. в день получения иммунных сывороток, титр их агглютининов, за исключением иммуниой сыворотки кроликов 111 группы, заметно не отличается от уровни
контрольного титра, а по антинигибиторной активности эти сыворотки
значительно отличаются между собой.

Подытоживая фактический материал, можно заключить, что оргаинзм на вакцинацию против бруцеллеза реагирует выработкой не только специфических антител, но и ингибиторов антителогенеза, а на
многократное и последовательное применение одновременно с вакциной
этих ингибиторов (в виде иммунной сыворотки) синтезирует антинигибиторы антителогенеза. Отсюда следует, что ингибиторы антителогенеза
обладают антигенностью. При четырехкратном последовательном применении иммунной сыворотки кроликов-доноров, параллельно с вакциной,
антини ибиторы антителогенеза в сыворотке крови кроликов-реципиентов обнаруживаются на 10-й, исчезают на 20-й и вновь появляются на
30-й день иммунизации.

Ереванский воонстеринарный институт

U. & HRPULBUL

Հետվակցինային ճակամաբմինագոյացման էնդոգեն ճակաիննիբիտոշներ

յան շիձուկի մեջ։

Մատ մեր տվյալների(՝) օրդանիղմը վակցիանացիայե նուտակվում են արվորվում է Հակոտնյա երկու ինքնուրույն ռնակցիաներ՝ մի կողմից սինկեզում վորվում է Հակոտնյա երկու ինքնուրույն ռնակցիաներ), որոնք կուտակվում են արվորմում է Հակոտնյա երկու ինքնուրույն ռնակցիանակում և արգելակիչ նյու

նար փորձնրավ ապացուցվեց, որ դոնար-մապարների իմունշիմուկները այորաբար բառանվաղ վակցինայի հետ զուդորդված դործադրելիս ռեցիպինա-մազարների օրդանիզմում սկսված իմունշիմուկների հակամարմինացոյացման ինհիրիաորների դեմ արտադրվում են հակաին իրիտորներ (հակաիմունո-դեպրեսանաներ), որի հետևանքով վերջինների իմունշիմուկներն աստիմանաբար կորցնում են հակամարմինադոյացման ընկմելու ակտիվությունը։
Հակամարմինագոյացման ին հիրիտորների դեպրեսանաներն արյան չիւուկի
մեջ հայտնվում են իմունացման 10-րդ, բացակայում են 20,րդ, և կրկին

հետախոսվ, Հակամարմինագոյացման ինհիթիտորներն օժտված են անտի.
ոեն (Հակածին) հատկությամբ, որոնց դեմ օրգանիզմում գոյանում են ակաինհիթիտորները,
ինհիթիտորներւ Ինչպես ինհիթիտորները, այնպես էլ հակաինհիթիտորները,
գոյանում են Հակամարմիններից անկախ և կուտակվում են արյան չիմուկի

ЛИТЕРАТУРА - ЭРЦЧЦЪПЬНВПЬЪ

1 Е. Гурвич. В со Всесоюзная научно-техническая конференция по применению радисактивных изотонов в народном хозяйстве и науке. М., 1958. ² А. Е. Гирвич и Г. А. Дризлих, ДАН СССР, 155, 2, 482 (1964) ³ В. И. Левинсон и Е. В. Чернохвостова, ЖМЭП, 4, 30 (1967). ⁴ С. Ш. Саканян, Биологический журная Армении, 24, 10 (1967). С. Ш. Саканян, В кн. Второй съезд Армянского филиологического общества. Ереван, 1971 ⁸ С. Ш. Саканян Ф. Б. Адамян, М. М. Павленко Колегникова, Биологический журная Армении, 2, 5, 109 (1974).

0

VIK 595.754

ЭНТОМОЛОГИЯ

В. Б. Голуб, Э. Г. Акрамовская

Новый вид кружевницы Tingis cornigera Golub et Akramowskaja sp. nov. (Hemiptera: Tingidae) из Закавказья

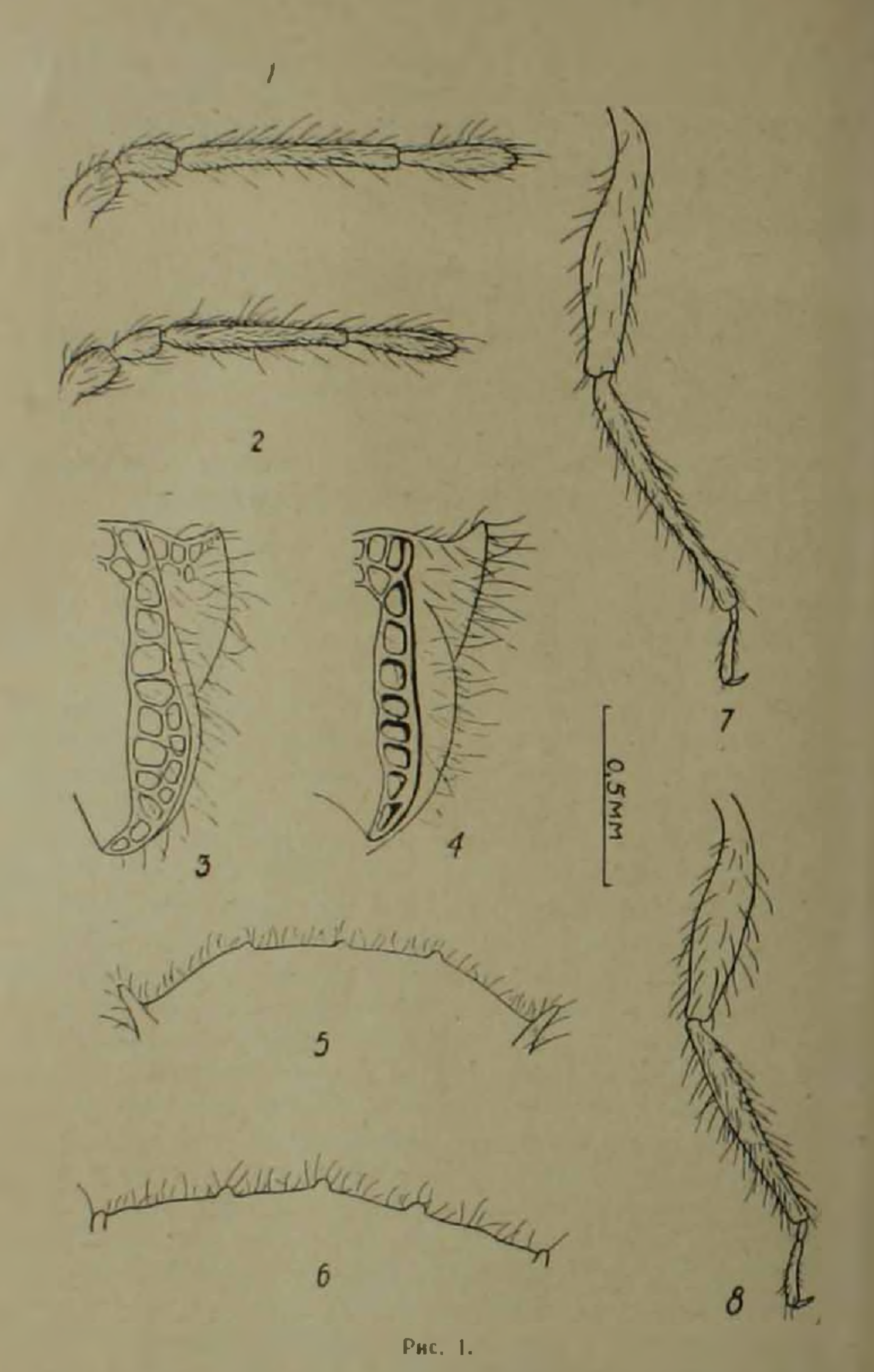
(Представлено чл-корр АН Армянской ССР Э. А. Давтяном 25/ХІ 1974)

Тело продолговатое (♂♂) или овальное (♀♀), сверху сероватобурое, в светлых торчащих довольно длинных волосках и беловатом налете.

Голова черная, в густом белом налете, с 5 горчащими косо вверх светлыми шипами—3 лобными и 2 теменными; лобные шины немного длинее теменных. Головные шипы, усиковые бугорки, или еще и участки лба вблизи глаз в светлых торчащих волосках, которые не короче лобных шипов. Усики (рис. 1, 2) бурые или черно-бурые, в светлом налете и светлых торчащих волосках, которые на 5-м членике алиниее толщины самого членика; 3-й членик самый тонкий и обычно светлее остальных. Соотношение длин члеников усиков (1-11:111-1V) 11—12:10—12:35—38—22—23 (каждая единица составляет 0,0123 мм).

Переднестинка с 3 низкими продольными килями без ячеек или с несколькими едва выраженными ячейками в основании заднего отростка переднестинки. Диск переднестинки умеренно выпуклый, в крупной пунктировке, точки которой заполнены белым налетом. Передняя часть передпестинки с невысоким крышевидным ячеястым образованием везикулой, передний край которой заметно выступает углом. Уплощенные боковые края переднестинки довольно узкие, по всей алипе с 1 рядом ячеек (рис. 1, 4), очень сильно загнуты вверх, так чт вчейки сверху не видны; спаружи боковые края слабо выемчатые, в своем основании они не возвышаются или едва возвышаются над боковыми углами днека (рис. 1, 6). Вся переднестинка в светлых, довольно длинных, торчащих волосках, которые длиннее ширины глаза.

Надкрылья слегка укороченные, заходящие за вершину брюшка. в светлом налете. Боковой край надкрылий, боковые и срединные поля довольно длинных, торчащих, светлых волосках, которые не короче ширины глаз; внутреннее поле в очень редких, коротких, прилегающих волосках. Боковой край надкрылий на большей части своей длины с 2 неправильными рядами угловатых ячеек; боковое поле довольно узкое



I—Tingis ajugatum (Ptey—Gessner), усик; 2—Tingis cornigera то же; 3—Т. ajugatum переднеснинка сбоку; 4—Т. cornigera то же; 5—Т. ajugatum переднеснинка сзади; 6—Т. cornigera то же; 7 Т. ajugatum средняя нога; 8—Т. cornigera то же

почти по всей длине с 2 рядами ячеек, в средней части с единичными ячейками 3-го ряда, срединное поле почти илоское, в самом широком месте с 6—7 рядами округлых ичеек; внутрениее поле в самом широком месте с 7—8 рядами ячеек.

Тело снизу бурое, брюшко чаще почти черное в светлых полосках, которые короче, чем волоски верхней стороны тела Бедра темно-бурые, голени бурые или желтовато-бурые, передине и средние голени довольно короткие, толстоватые (рис 1, 8) Бедра и голени в светлых торчащих волосках.

Длина тела 3,25—3.5, ширина тела 1,5—1,7, ширина переднеснинка 1,25—1,4 мм.

Голотии 3: Азербайджан, Кировабад 20/VII 1933, Лукьянович Находится в Зоологическом Институте АН СССР в Ленинграде

Паратины: в Зоологическом Институте АН СССР в Левинграде Армения, Туманянский район (бывший Алавердский), с Шнох. 21/VIII 1930, 1 1 1 Q. Коринек; Азербайджан, Барда на р. Тертер, Карабахская стень, 21/VI 1933, 1 Q. Лукьянович, 1 Q с неразборчивой надписью на этикетке «Кояричай» из коллекции Яковлева; в Зоологическом Институте АН Арм. ССР в Ереване: Армения, Азизбековский район, охрестности Заритана, 3/VI 1958 1 В Дилижанский заповедник Інссовая роща 4 В 11 Q 29/IX 1972. Акрамовская.

Рассматриваемый вид наиболее близок Tingis ajugatum (Frey-Gessner) с которым его сближают следующие общие признаки: переднесшинка и надкрылья в довольно длишных волосках, боковые края переднесшинки сильно загнуты вверх, передний край везикулы заметню выступает углом, боковой край и боковое поле надкрылий довольно узкие, на большей части своей длины с 2 рядами ячеек и т. д.

Однако у Т. ајидагит боковые края переднеспинки сзади с 2 рядами ячеек (рис. 1, 3), в своем основании заметно возвышаются над боковыми углами переднеспинки (рис. 1,5) и, кроме того, снаружи значительно более выемчатые, чем у Т cornigera. Боковые кили переднеспинки у Т. ајидагит слегка выше, передний край везикулы сильнее выступающий углом, а передние и средние голени (рис. 1, 7) тоньше и длиннее, чем у Т. cornigera. Есть также некоторые отличия в усиках (рис. 1, 1, 2),

Зоологический виститут Академии наук СССР Институт зоологии Академии наук Армянской ССР

վ. թ. Գոլոթը, կ. Գ. ԱԿՐԱՄՈՎՍԿԱՑԱ

Նոր տեսակ Tingis cornigera Golub et Akramowskaja sp. nov. Անդրկովկասից

նոր անտակ Tingis comigera Golub et Akramowskaja sp. nov. որը ավարված է նդել Կոսինեկի կող-

մից Հալկական ՍՍՀ Թումանլանի շրջանի ձնոխ գլուղի շրջակալրից 1930 - Ինչպես նաև Ակրամովսկալայի կողմից Ազիգրնկայի շրջանի Հնարիկափ գլուղի շրջանուն արդելոցի կենու պարակից (THC-COBBR PORER) 1972 — Աղրբեջանում (Կիրովարադ) հավարել են Լականովիչը հոլոտիպ) 1933 — և Ցակովլեր՝ Կոլառպչալից։

